



UNIVERSITÄT  
LEIPZIG

Rasterung

# COMPUTERGRAPHIK

# Inhaltsverzeichnis

## 3 Rasterung

3.1 Rasterung von Geraden DDA

3.2 Rasterung von Geraden Bresenham

3.3 Rasterung von Kreisen

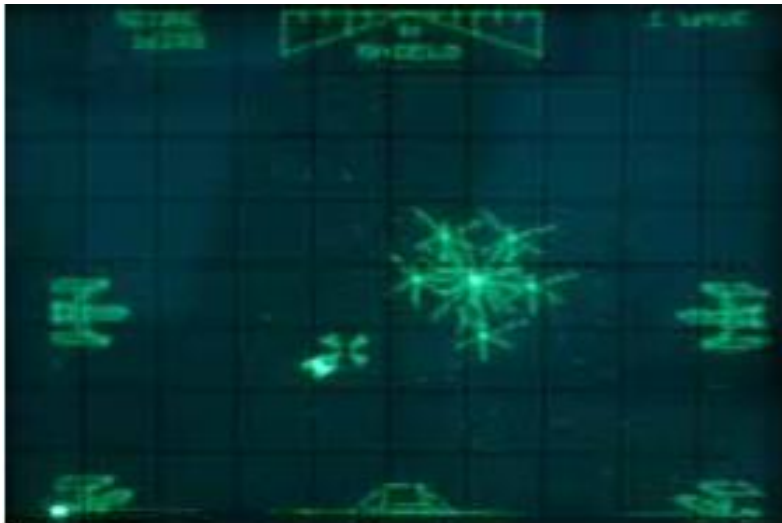
3.4 Füllalgorithmen

3.5 Aliasing

### 3. Rasterung

#### Darstellungsmöglichkeiten

- Vektordarstellung
  - Plotter, Elektronenstrahl (Oszilloskop)
  - Einzelne Linien (Vektoren) werden gezeichnet.
  - Bild setzt sich aus Linien zusammen.
  - Eingeschränkte Darstellungsmöglichkeiten



### 3. Rasterung

#### Darstellungsmöglichkeiten

- Rasterdisplays
  - Bild wird in Bildpunkte diskretisiert.
  - Erfordert Framebuffer (Bildspeicher)
    - Speichert die Bitmap des angezeigten Bildes
    - Digitale Kopie des Monitorbildes
    - Heutzutage doppelt oder dreifach gepuffert

Speicherbedarf:

$1024 \times 768 \times \text{TrueColor} \approx 2,25 \text{ MB}$

$1920 \times 1200 \times \text{TrueColor} \approx 6,6 \text{ MB}$

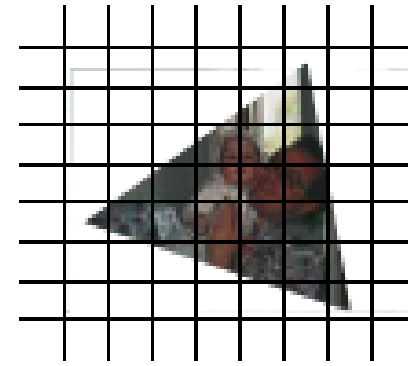
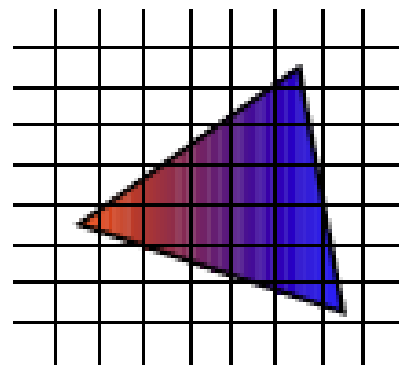
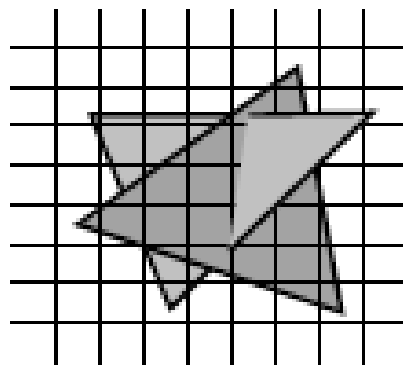
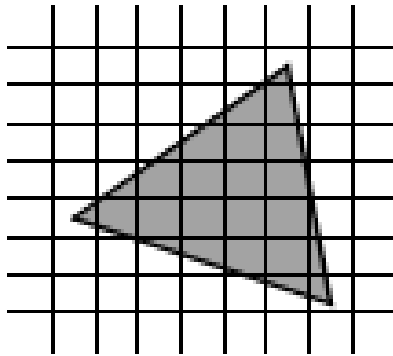
$2560 \times 1600 \times \text{TrueColor} \approx 12 \text{ MB}$

Truecolor:

- 24 Bit
- Je ein Byte (8 Bit) für R, G und B
- $2^{24} = 16.777.216$

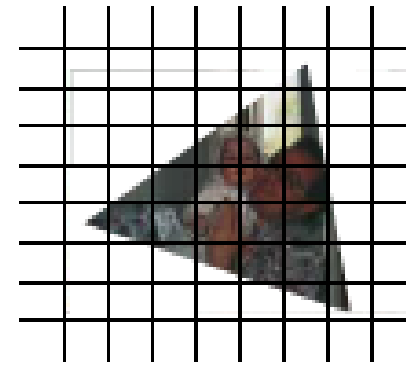
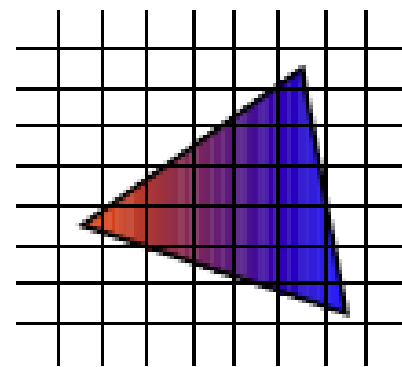
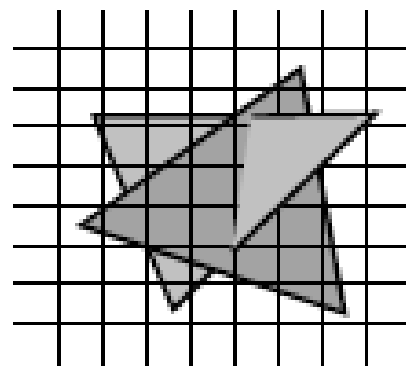
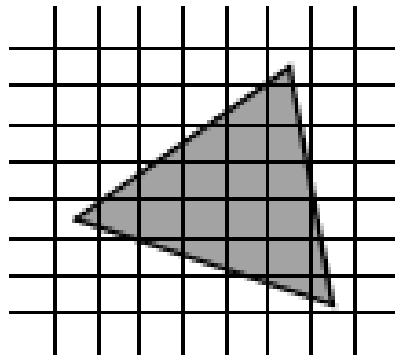
### 3. Rasterung

- Die dominierenden Rasterbildschirme erfordern die „Zerlegung“ aller darzustellenden geometrischen Objekte in Bildschirmpunkte.
- Dieser Prozess wird auch als Rasterung bezeichnet.
- Dies ist die Aufgabe der Bilderzeugungseinheit DPU (Display Processing Unit) des Bildrechners:  
Rastereinheit/Rasterprozessor



### 3. Rasterung

- Wir beschäftigen uns näher mit:
  - Rasterung von Geraden, Kreisen, Ellipsen, Polygonen
  - Antialiasing von Linien und Polygonen



## 3.1 Rasterung von Geraden

### Problemstellung

- Darstellung einer Linie auf einem Rasterbildschirm erfordert die Bestimmung der „am besten passenden“ Punkte im Raster bzw. Gitter (geeignete ganzzahlige Rundung).

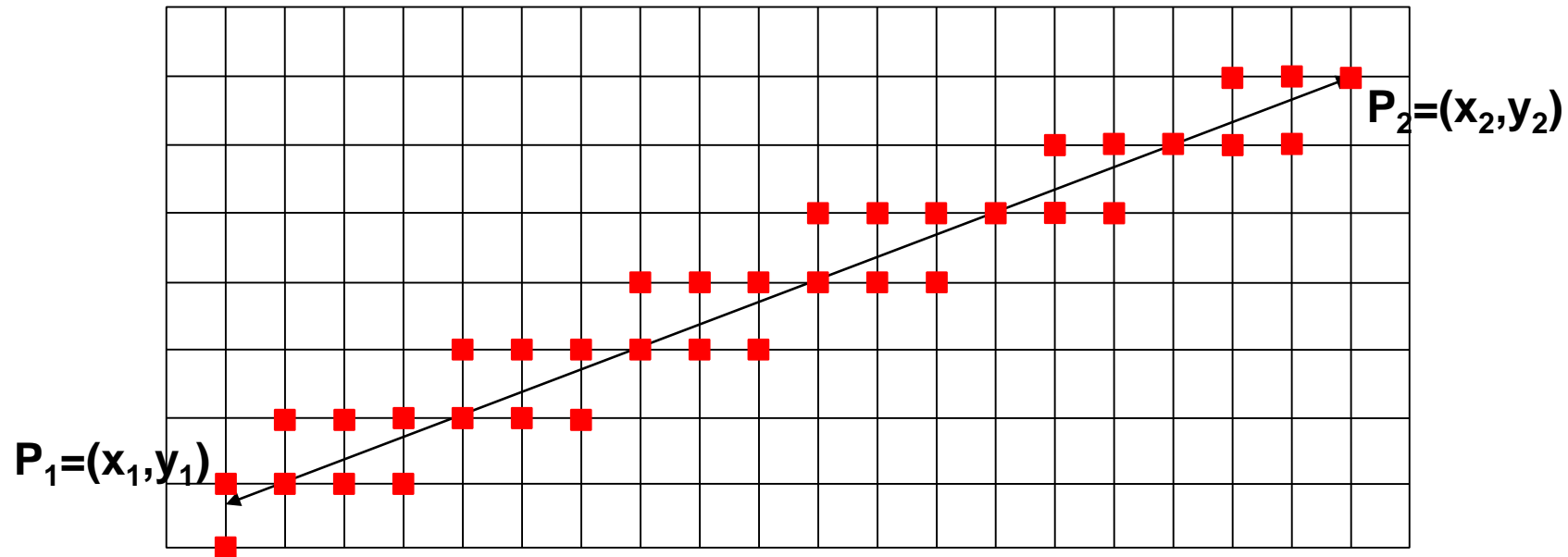


Abb. 2.1: Mögliche Rasterkandidaten

## 3.1 Rasterung von Geraden

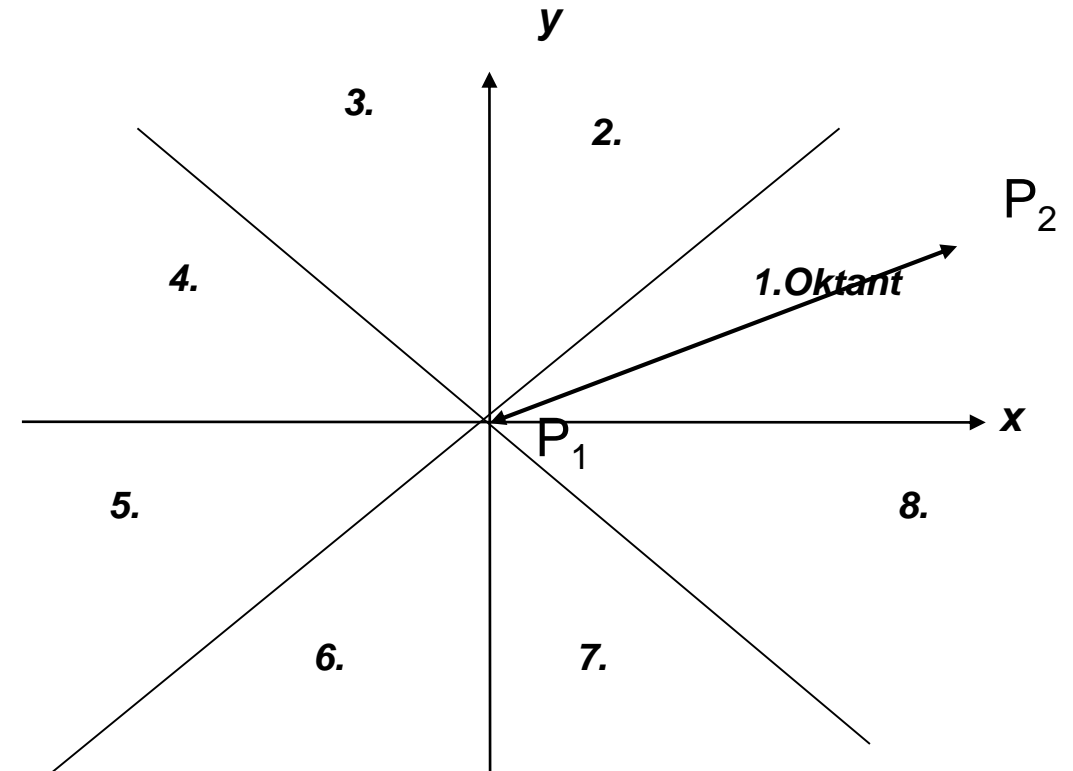
### Anforderungen

- Geraden
  - sollen gerade erscheinen
  - sollen gleichmäßig hell erscheinen
  - sollen schnell gezeichnet werden
- Algorithmus
  - soll leicht in Hardware implementierbar sein



### 3.1 Rasterung von Geraden

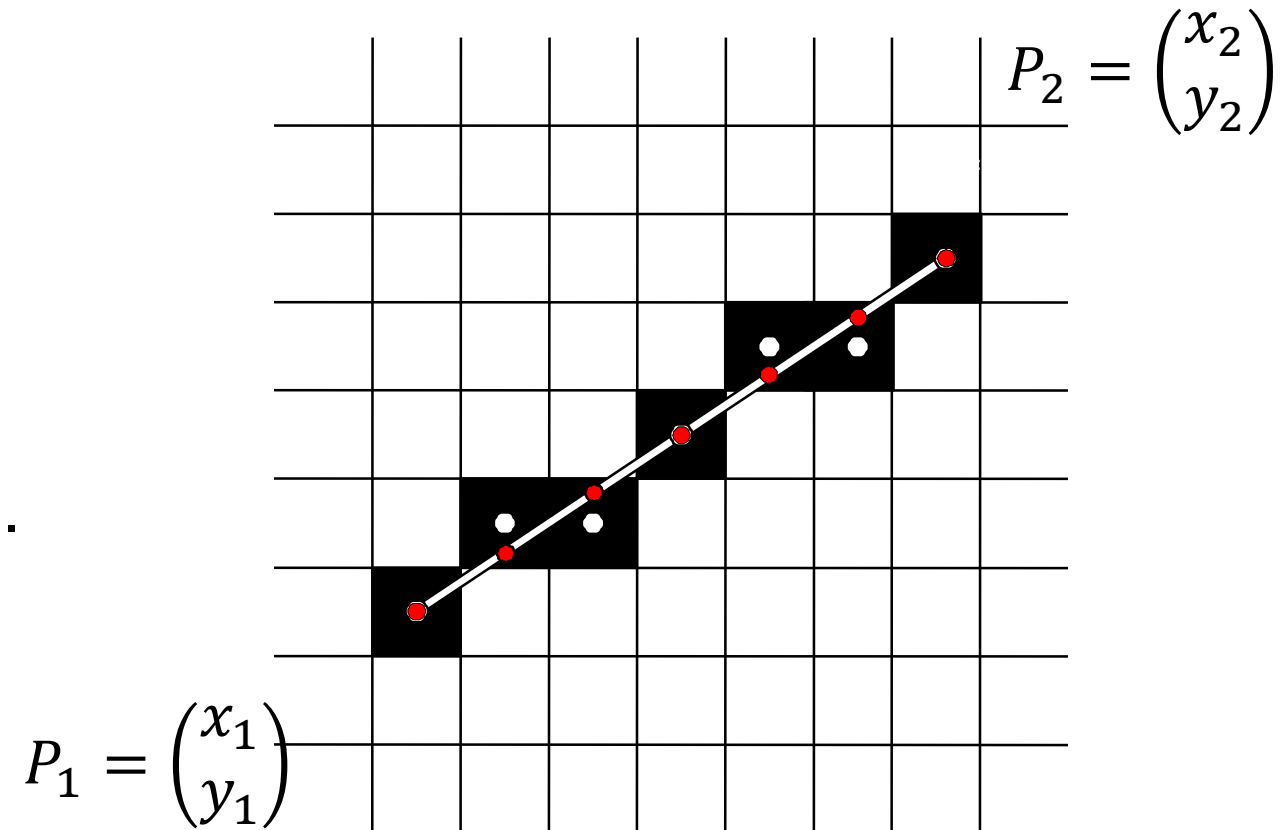
- Fallunterscheidung in Oktanten (nach Steigung)
- Hier:
  - Ursprung des zugeordneten Koordinatensystems in  $P_1$
  - 1. Oktant
  - $P_1$  und  $P_2$  auf Rastergitter



## 3.1 Rasterung von Geraden: DDA

### DDA-Algorithmus für Geraden [1930er]

- DDA
  - Digital Differential Analyzer
  - Digitaler Integrierer
- Ein DDA-Algorithmus generiert eine Kurve (nicht nur Geraden) aus einer beschreibenden Differentialgleichung.



### 3.1 Rasterung von Geraden: DDA

Geradengleichung:  $y = ax + b$

$\Delta x =$

$\Delta y =$

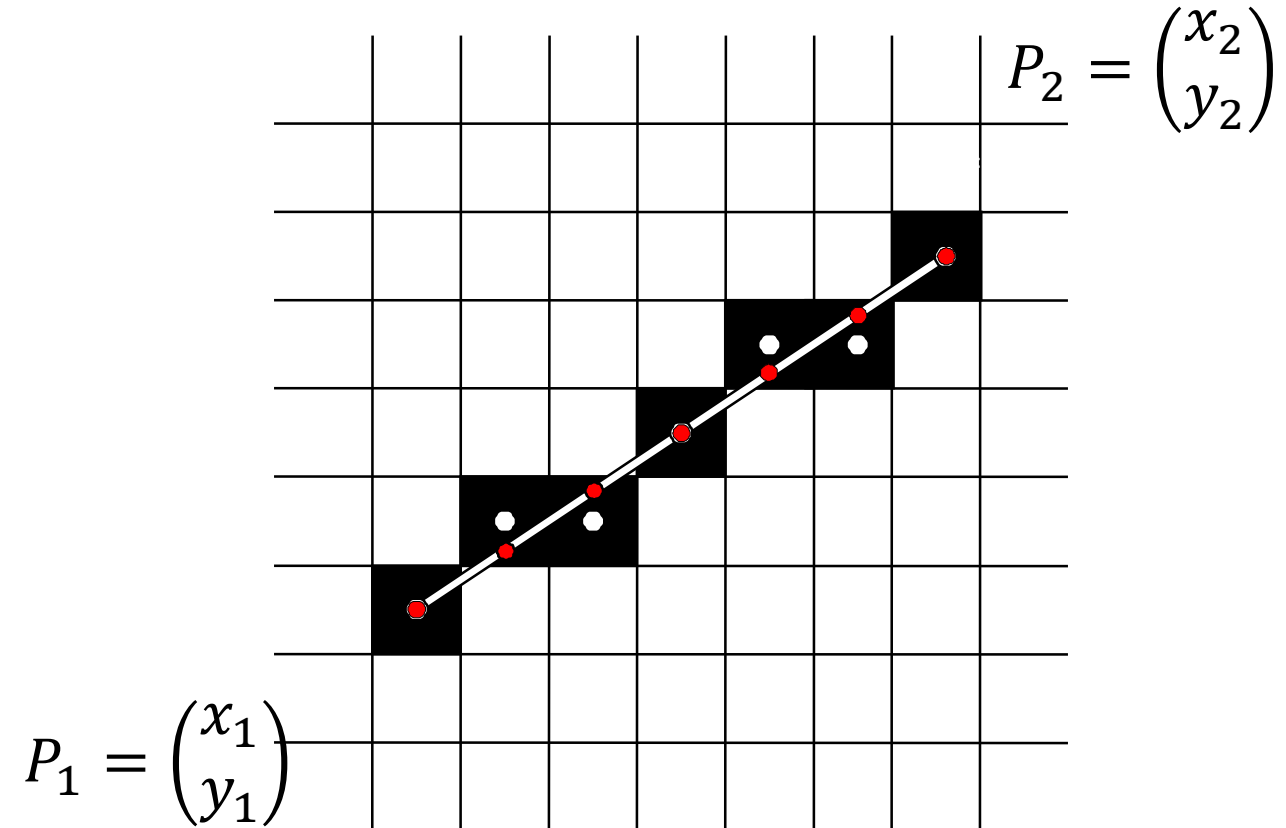
$a =$

$b =$

Direkte Berechnung:  $\forall i = 1, \dots, \Delta x:$

$x_{i+1} =$

$y_{i+1} =$



### 3.1 Rasterung von Geraden: DDA

Geradengleichung:  $y = ax + b$

$$\Delta x = x_2 - x_1$$

$$\Delta y = y_2 - y_1$$

$$a = \frac{\Delta y}{\Delta x}, 0 \leq a \leq 1$$

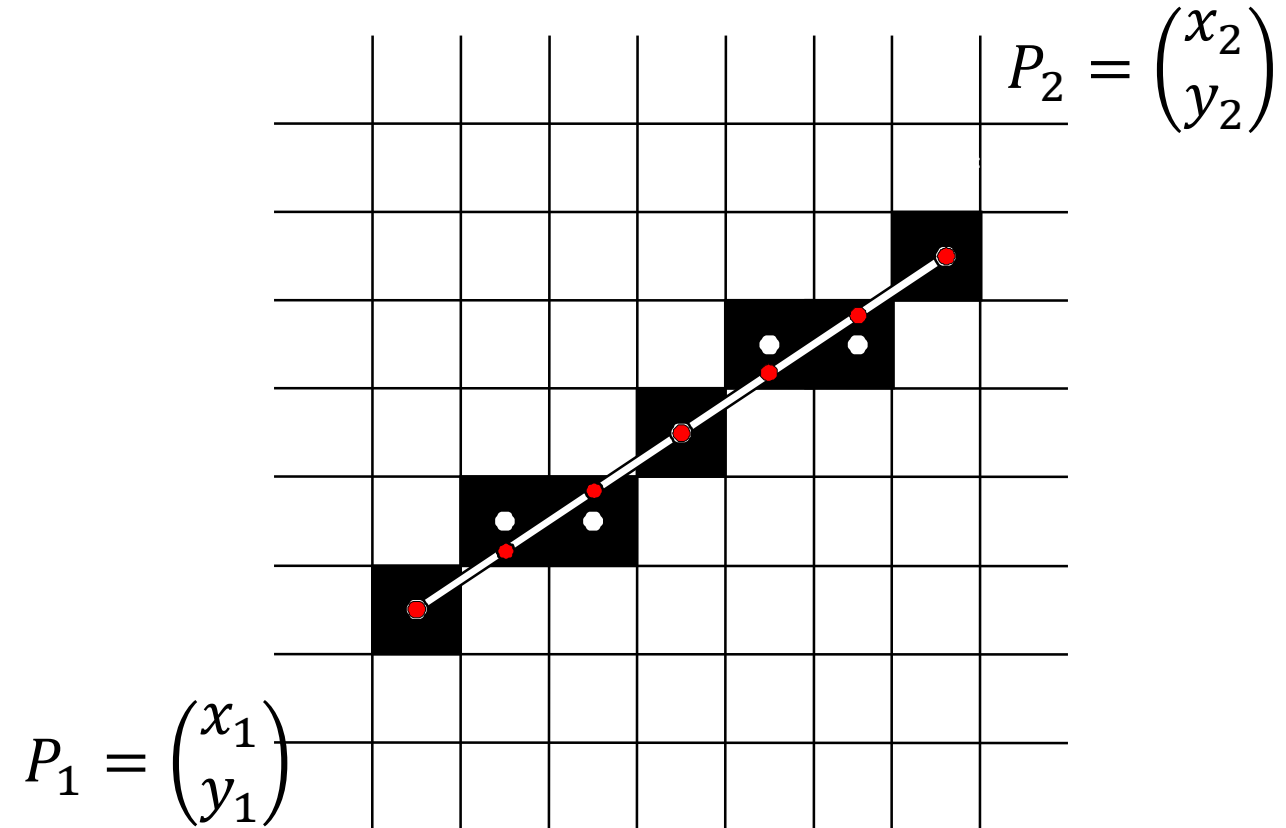
$$b = ax_1 - y_1$$

Direkte Berechnung:  $\forall i = 1, \dots, \Delta x$ :

$$x_{i+1} = x_i + 1$$

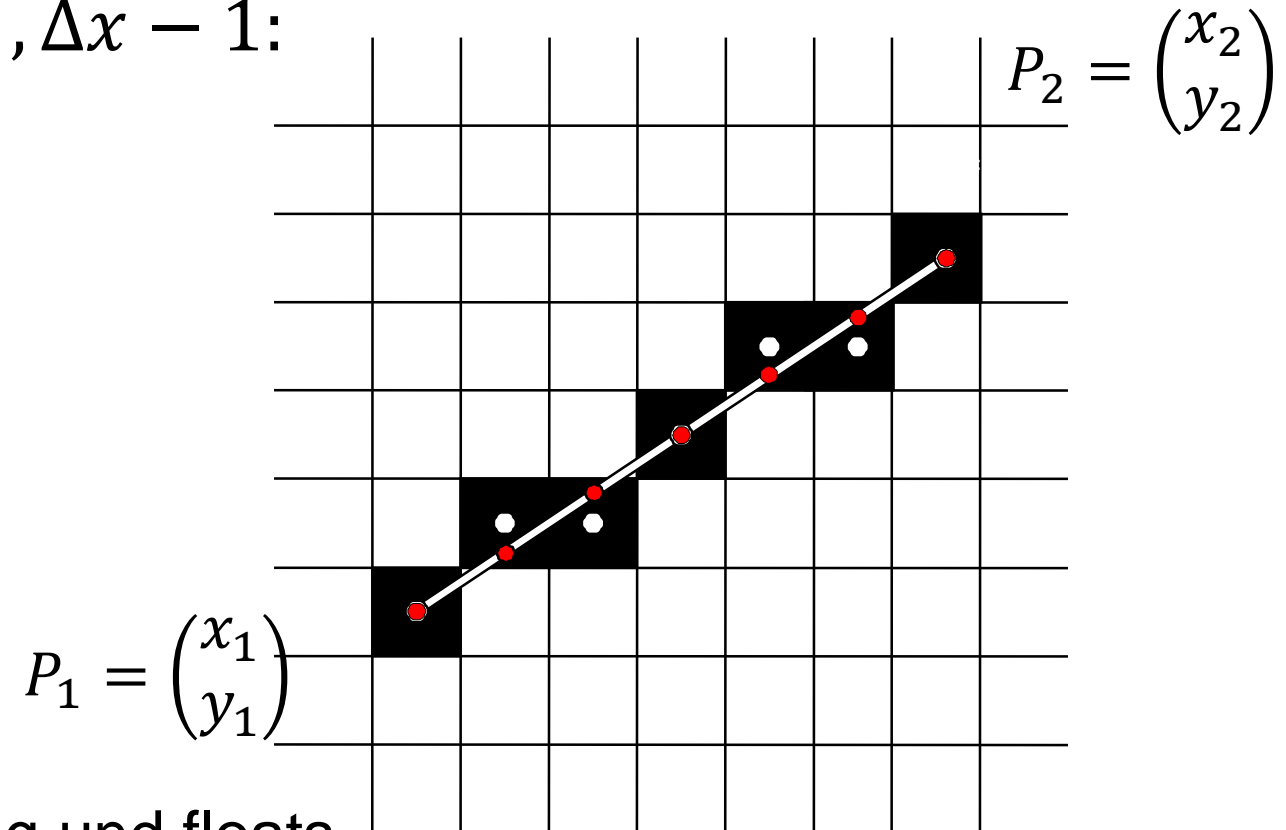
$$y_{i+1} = ax_{i+1} + b$$

Plus Rundung



### 3.1 Rasterung von Geraden: DDA

Inkrementelle Berechnung:  $\forall i = 0, \dots, \Delta x - 1$ :  
 $y_{i+1}$



Vorteil: schneller

Nachteil beide: ungenau durch Rundung und floats

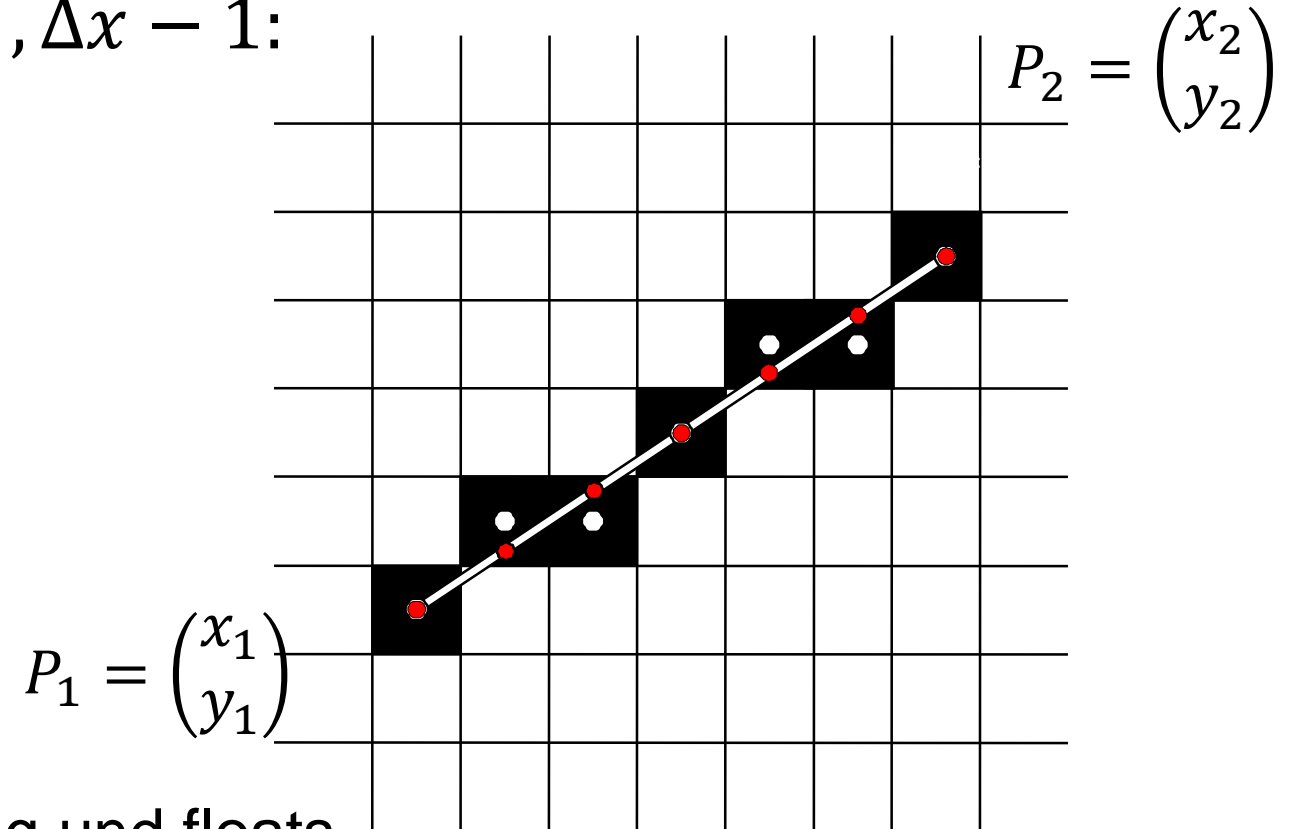
### 3.1 Rasterung von Geraden: DDA

Inkrementelle Berechnung:  $\forall i = 0, \dots, \Delta x - 1$ :

$$\begin{aligned}y_{i+1} &= ax_{i+1} + b \\&= a(x_i + 1) + b \\&= ax_i + b + a \\&= y_i + a \\&= y_i + \frac{\Delta y}{\Delta x}\end{aligned}$$

Vorteil: schneller

Nachteil beide: ungenau durch Rundung und floats



## 3.2 Rasterung von Geraden: Bresenham

### Bresenham-Algorithmus für Geraden [1962]

- Idee:
  - Abhängig von der Steigung der Geraden wird die x- oder y-Koordinate immer um genau eine Einheit geändert
  - Die andere Koordinate wird entweder nicht oder ebenfalls um eine Einheit geändert
  - Fallunterscheidung nach der kleineren Abweichung der Geraden zum nächsten Gitterpunkt in Koordinatenrichtung

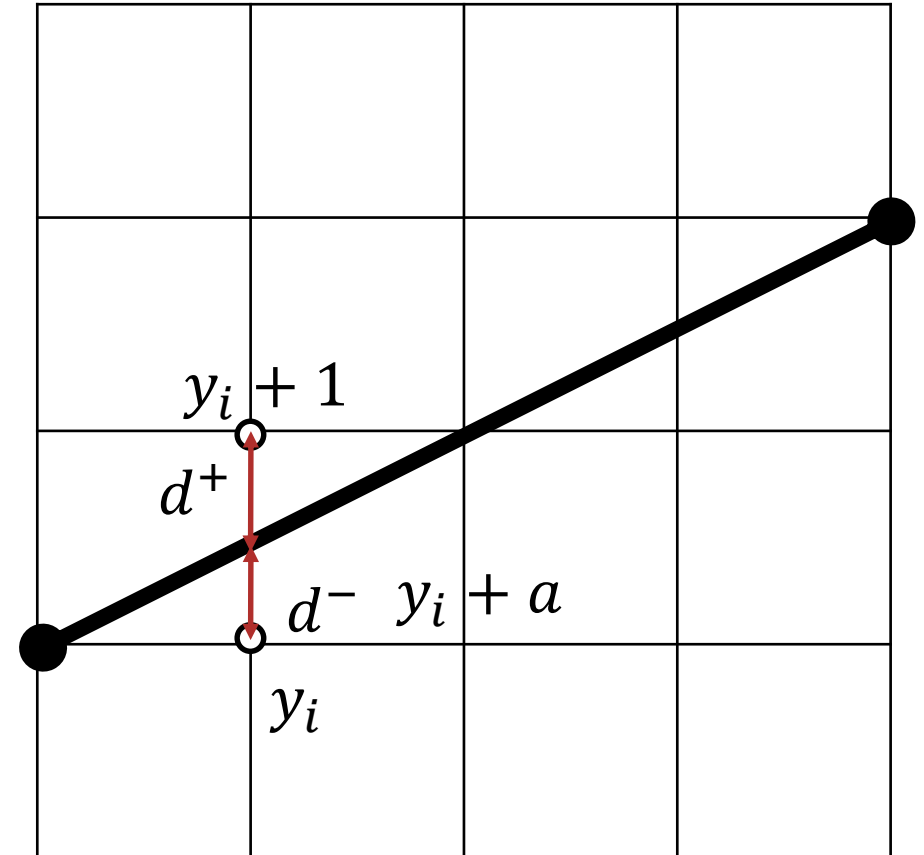
## 3.2 Rasterung von Geraden: Bresenham

- Entweder **Punkt 1** oder **Punkt 2** wird gezeichnet, je nachdem, welcher näher zur **Geraden** liegt

$d^-$

$d^+$

- Gehe nach oben, wenn  $a \cdot d^- < d^+$





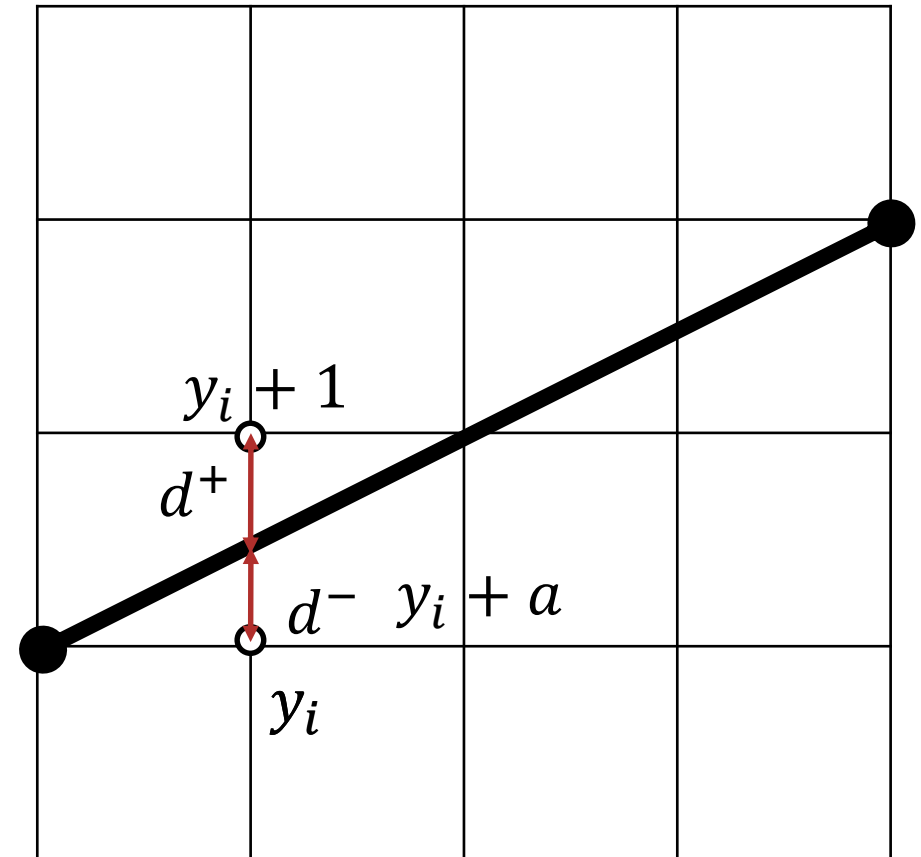
## 3.2 Rasterung von Geraden: Bresenham

- Entweder **Punkt 1** oder **Punkt 2** wird gezeichnet, je nachdem, welcher näher zur **Geraden** liegt

$$\begin{aligned}d^- &= y_i + a - y_i \\ &= a\end{aligned}$$

$$\begin{aligned}d^+ &= y_i + 1 - (y_i + a) \\ &= 1 - a\end{aligned}$$

- Gehe nach oben, wenn  $d^+ < d^-$



## 3.2 Rasterung von Geraden: Bresenham

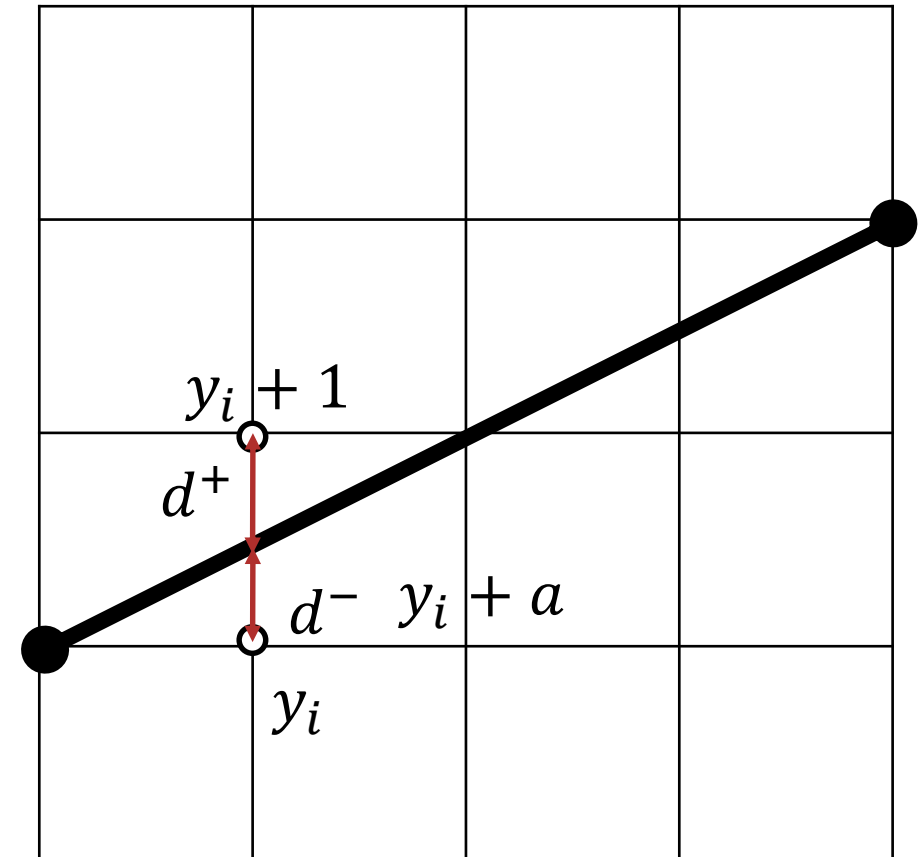
- Zur Realisierung wird eine **Entscheidungsgröße E** eingeführt:

$$E := d^- - d^+$$

- Gehe nach oben, wenn  
 $d^+ < d^- \Leftrightarrow E > 0$

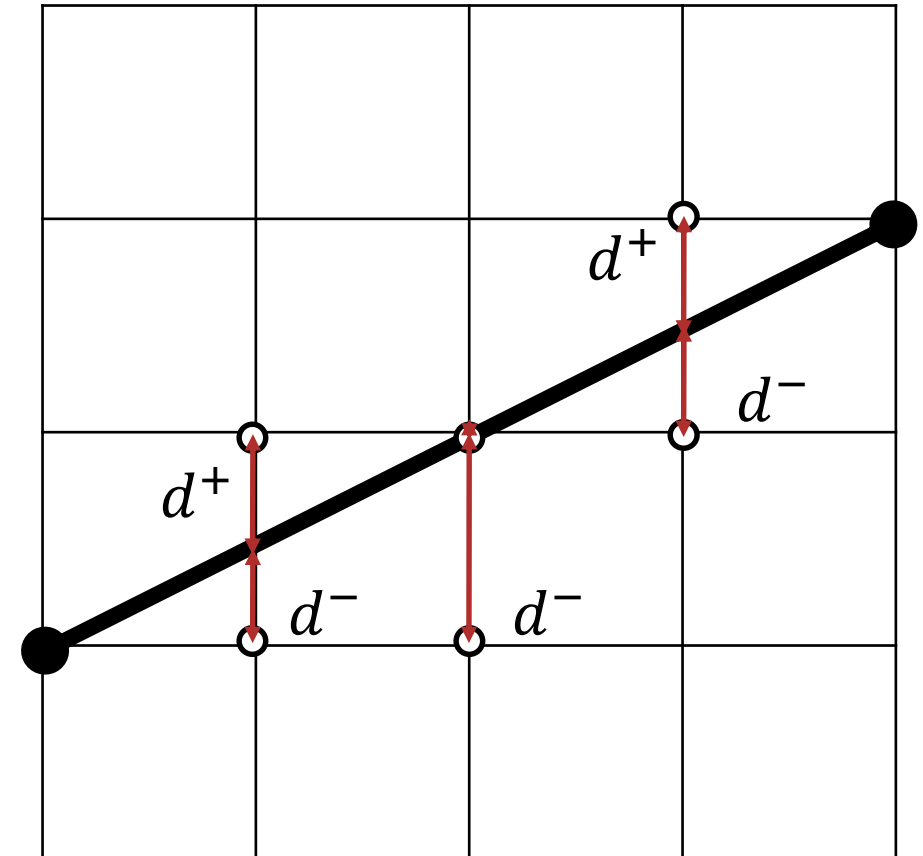
- Das **Vorzeichen von E** dient dann als Kriterium für die Rundung auf den nächsten Rasterpunkt:

- $E \leq 0: x + +$
- $E > 0: x + +, y + +$



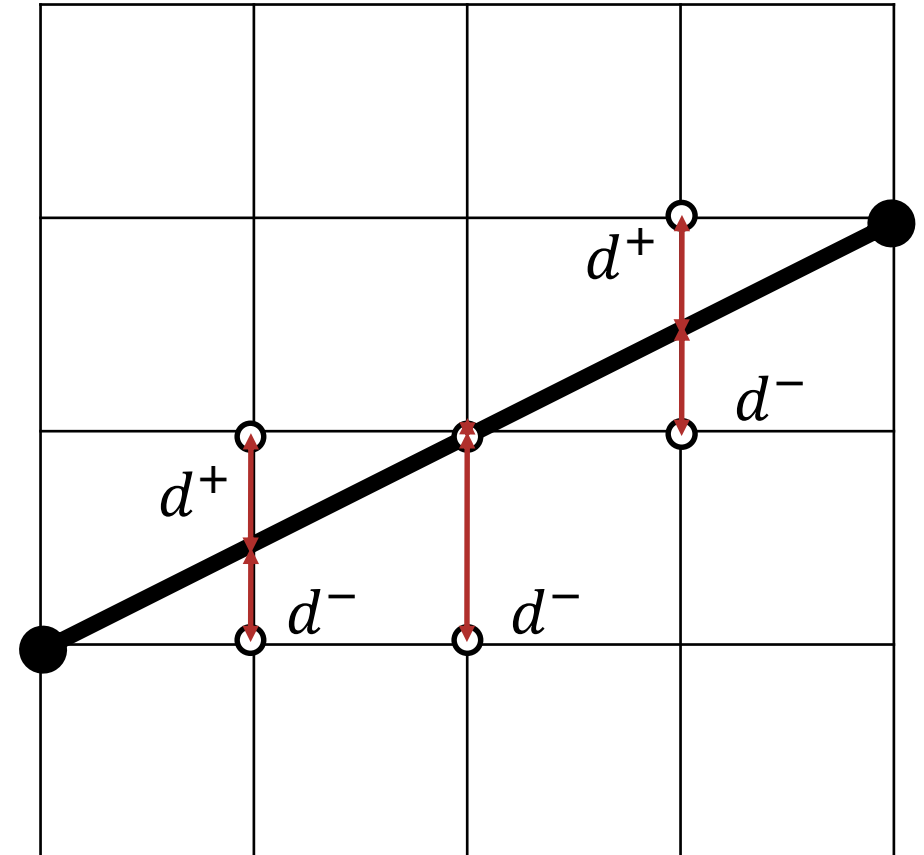
## 3.2 Rasterung von Geraden: Bresenham

- Zur schnelleren Berechnung, kann  $E$  **inkrementell** berechnet werden
- Das **Vorzeichen von  $E$**  dient dann als Kriterium für die Rundung auf den nächsten Rasterpunkt und die Aktualisierung von  $E$ :
  - $E \leq 0: x + +,$   
 $d^+ +=$   
 $d^- -=$   
 $E +=$
  - $E > 0: x + +, y + +,$   
 $d^+ +=$   
 $d^- -=$   
 $E +=$



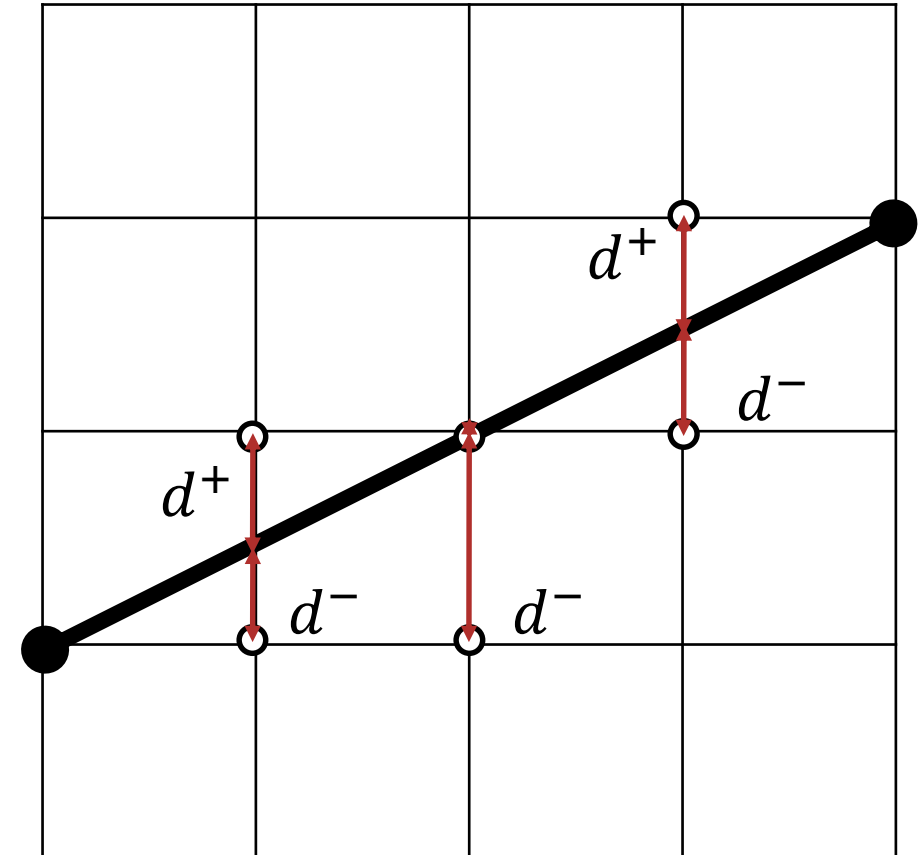
## 3.2 Rasterung von Geraden: Bresenham

- Zur schnelleren Berechnung, kann E **inkrementell** berechnet werden
- Das **Vorzeichen von E** dient dann als Kriterium für die Rundung auf den nächsten Rasterpunkt und die Aktualisierung von E:
  - $E \leq 0: x + +,$   
 $d^+ -= a$   
 $d^- += a$   
 $E += 2a$
  - $E > 0: x + +, y + +,$   
 $d^+ += 1 - a$   
 $d^- -= 1 - a$   
 $E += 2a - 2$



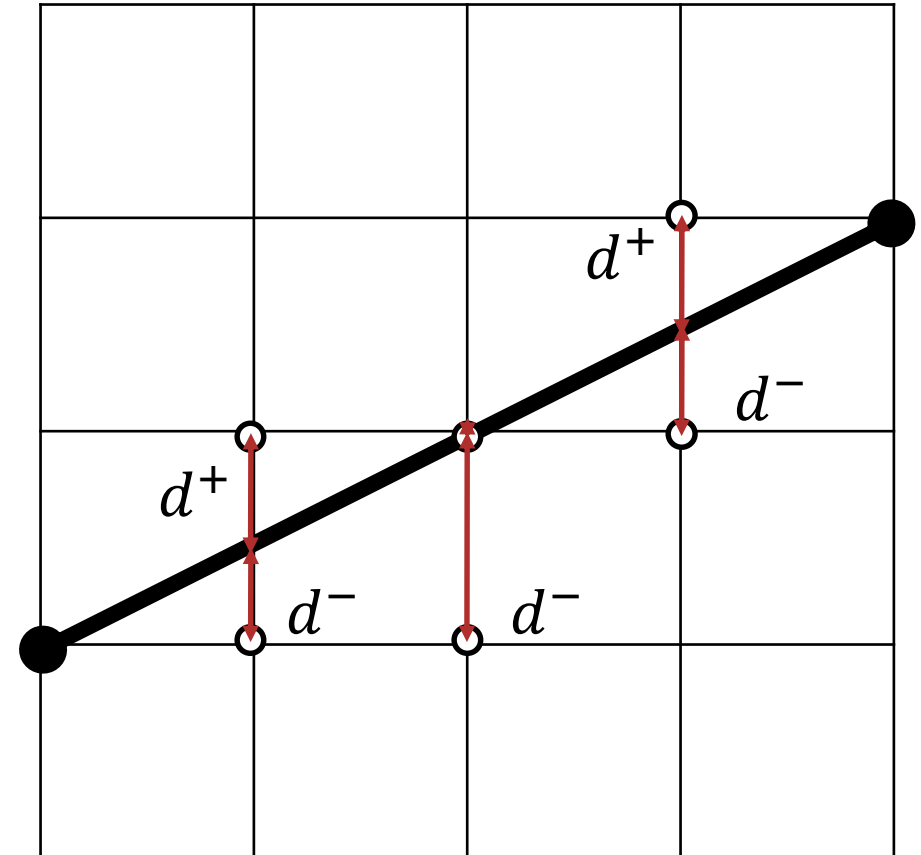
## 3.2 Rasterung von Geraden: Bresenham

- Zur Vermeidung der Division wird **Entscheidungsgröße  $e$**  eingeführt:  
$$e := \Delta x E$$
- Gehe nach oben, wenn  
$$E > 0 \Leftrightarrow e > 0$$
- Das **Vorzeichen von  $e$**  dient dann als Kriterium für die Rundung auf den nächsten Rasterpunkt:
  - $e \leq 0: x++$ ,
  - $e > 0: x++, y++$ .



## 3.2 Rasterung von Geraden: Bresenham

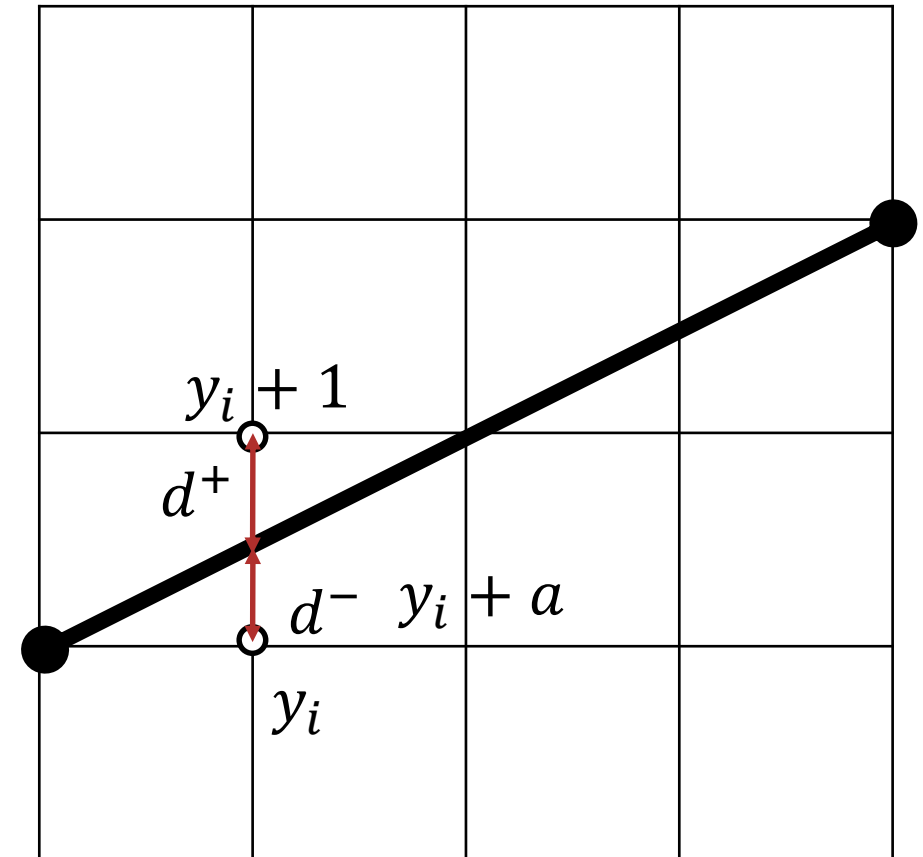
- Zur Vermeidung der Division wird **Entscheidungsgröße  $e$**  eingeführt:  
$$e := \Delta x E$$
- Gehe nach oben, wenn  
$$E > 0 \Leftrightarrow e > 0$$
- Das **Vorzeichen von  $e$**  dient dann als Kriterium für die Rundung auf den nächsten Rasterpunkt:
  - $e \leq 0: x ++, \quad e += 2\Delta y$
  - $e > 0: x ++, y ++, e += 2\Delta y - 2\Delta x$



## 3.2 Rasterung von Geraden: Bresenham

– Startwerte:

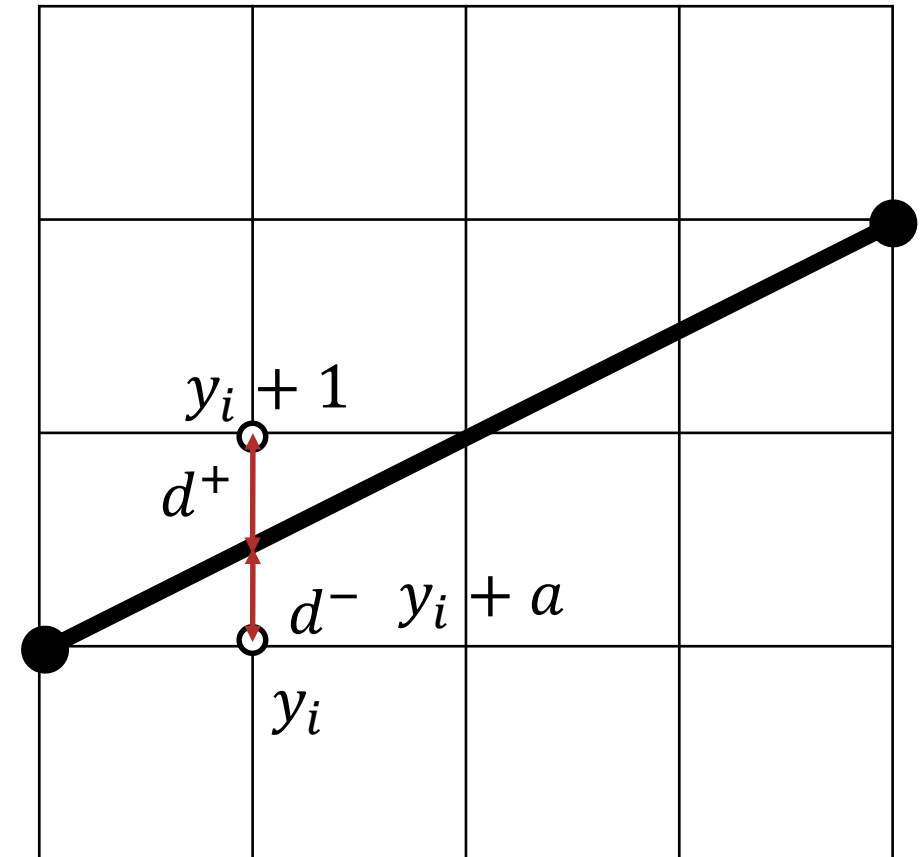
$e_1$



## 3.2 Rasterung von Geraden: Bresenham

– Startwerte:

$$\begin{aligned}e_1 &= \Delta x E_1 \\&= \Delta x (d_1^- - d_1^+) \\&= \Delta x (a - (1 - a)) \\&= \Delta x (2a - 1) \\&= \Delta x \left( 2 \frac{\Delta y}{\Delta x} - 1 \right) \\&= 2\Delta y - \Delta x\end{aligned}$$





## 3.2 Rasterung von Geraden: Bresenham

```
// (x1, y1), (x2, y2) Ganzzahlig
// x1 < x2, y1 < y2
x = x1; y = y1;
dx = x2 - x1; dy = y2 - y1;
e = 2 * dy - dx; // Initialisierung
for(i = 1; i <= dx; i++){
    // Schleife fuer x
    plot(x, y);
    if (e >= 0) {
        // oberen Punkt Zeichnen (y erhoehen)
        ++y;
        e -= 2 * dx;
    }
    ++x;
    e += 2 * dy;
}
plot(x, y);
```

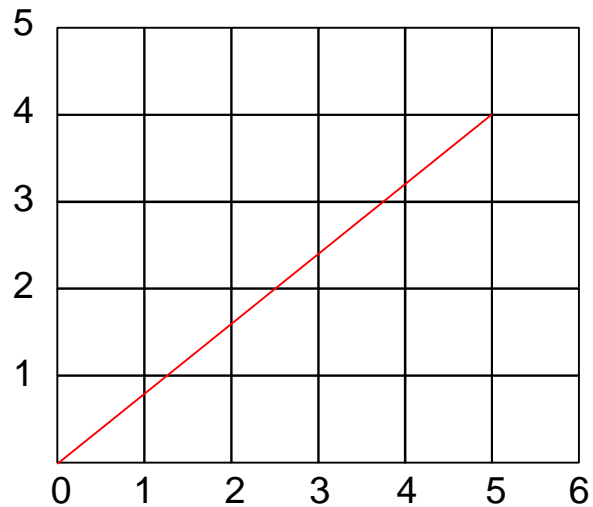
- Erster Oktant
- Ausschließlich ganzzahlige Operanden

## 3.2 Rasterung von Geraden: Bresenham

```
// (x1, y1), (x2, y2) Ganzzahlig
// x1 < x2, y1 < y2
x = x1; y = y1;
dx = x2 - x1; dy = y2 - y1;
e = 2 * dy - dx; // Initialisierung
for(i = 1; i <= dx; i++){
    // Schleife fuer x
    plot(x, y);
    if (e >= 0) {
        // oberen Punkt Zeichnen (y erhoehen)
        ++y;
        e -= 2 * dx;
    }
    ++x;
    e += 2 * dy;
}
plot(x, y);
```

### Beispiel:

- $P1=(0, 0)$
- $P2=(5, 4)$



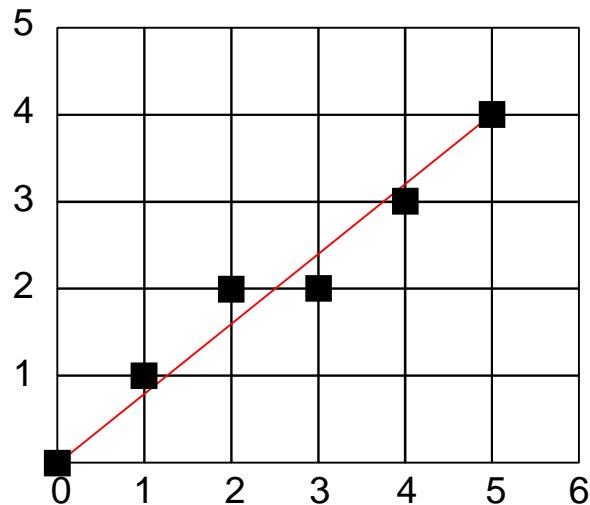
x	y	e	i	plot

## 3.2 Rasterung von Geraden: Bresenham

```
// (x1, y1), (x2, y2) Ganzzahlig
// x1 < x2, y1 < y2
x = x1; y = y1;
dx = x2 - x1; dy = y2 - y1;
e = 2 * dy - dx; // Initialisierung
for(i = 1; i <= dx; i++){
    // Schleife fuer x
    plot(x, y);
    if (e >= 0) {
        // oberen Punkt Zeichnen (y erhoehen)
        ++y;
        e -= 2 * dx;
    }
    ++x;
    e += 2 * dy;
}
plot(x, y);
```

### Beispiel:

- P1=(0, 0)
- P2=(5, 4)

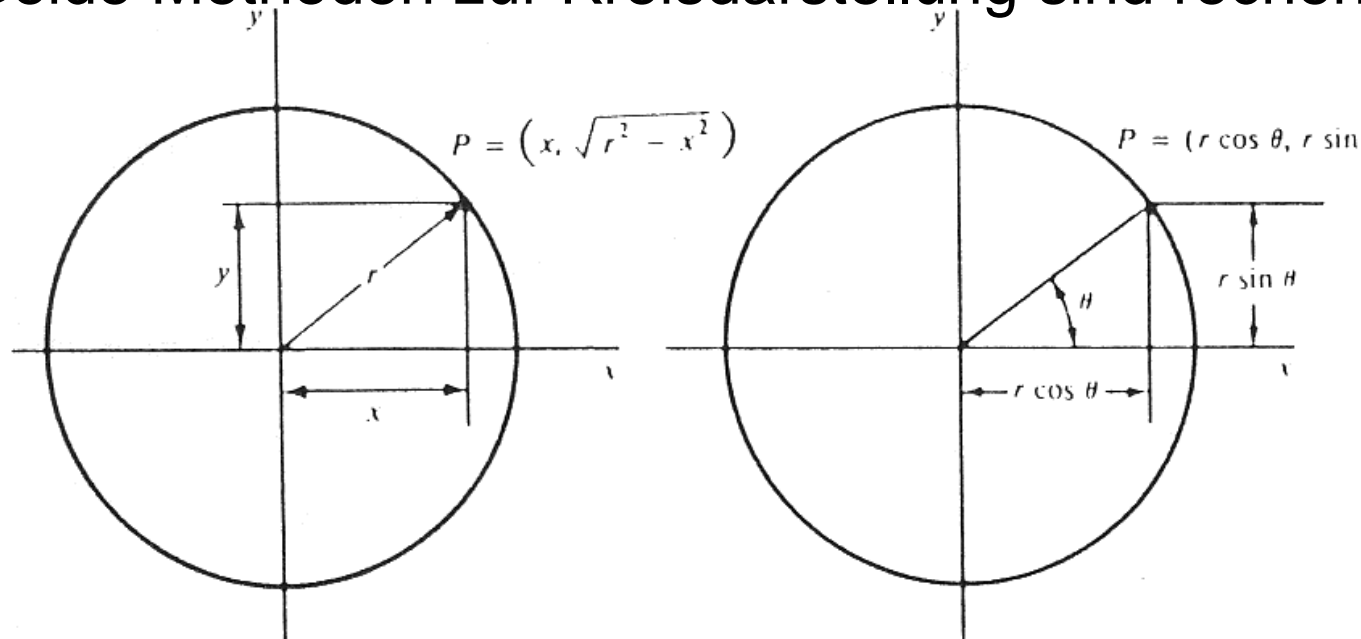


x	y	e	i	plot
0	0	3	1	(0, 0)
	1	-7		
1		1	2	(1, 1)
	2	-9		
2		-1	3	(2, 2)
3		7	4	(3, 2)
	3	-3		
4		5	5	(4, 3)
	4	-5		
5		3	6	
				(5, 4)

### 3.3 Rasterung von Kreisen

Darstellung eines Kreises mit Mittelpunkt  $(x_M, y_M)$  und Radius  $r$

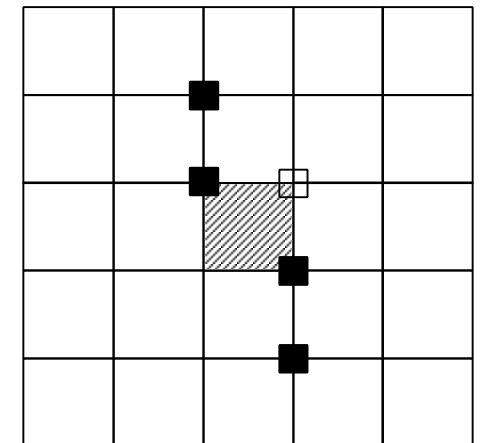
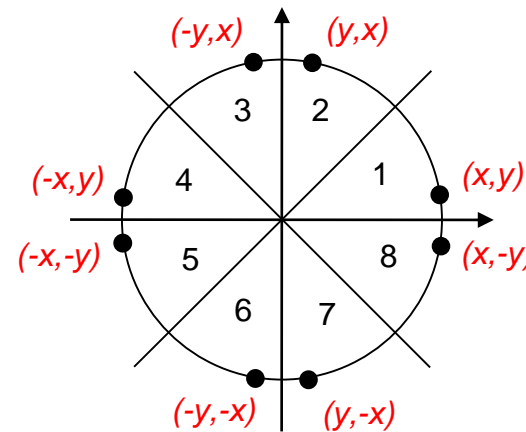
- Implizit:  $f(x, y) = (x - x_M)^2 + (y - y_M)^2 - r^2 = 0$
- Parameter:  $x(\theta) = x_M + r \cdot \cos \theta$ ,  $y(\theta) = y_M + r \cdot \sin \theta$ ,  $\theta \in [0, 2\pi[$
- Nachteil: Beide Methoden zur Kreisdarstellung sind rechenaufwändig



### 3.3 Rasterung von Kreisen

#### Darstellung eines Kreises: Bemerkungen

- Mit der Berechnung eines Kreispunktes sind durch **Symmetrie** 7 weitere Kreispunkte gegeben
- Für eine gleichmäßige Rasterung müssen die Pixel entlang des Kreises **möglichst gleichmäßig** verteilt sein
- Die Bewertung der Kreisapproximation im Raster ist subjektiv
- von jedem Rasterquadrant dürfen nur 2 Eckpunkte gesetzt werden

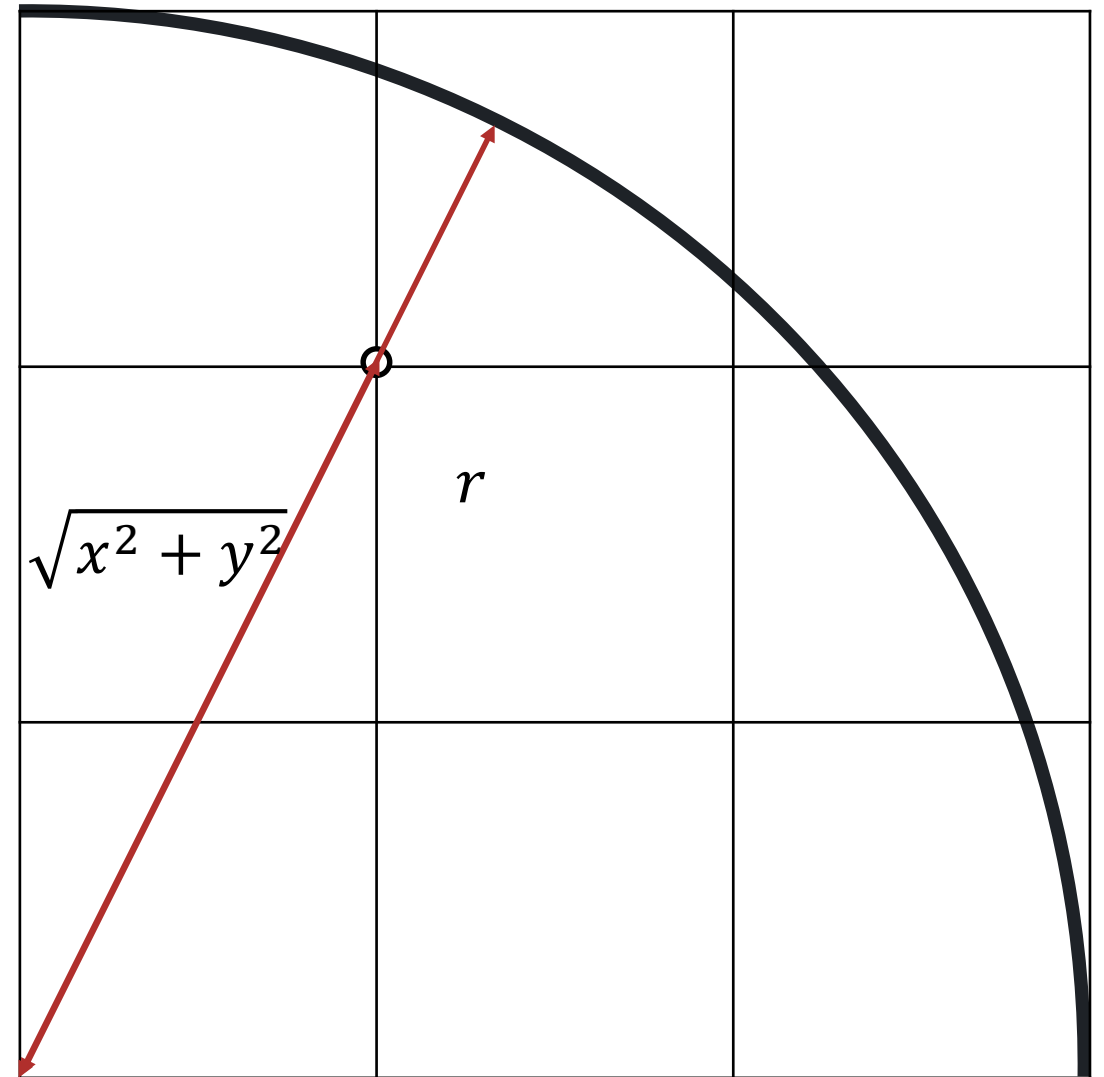


### 3.3 Rasterung von Kreisen

Darstellung eines Kreises: Bemerkungen

- Ein häufig verwendetes Kriterium ist die **Minimierung des Residuums**

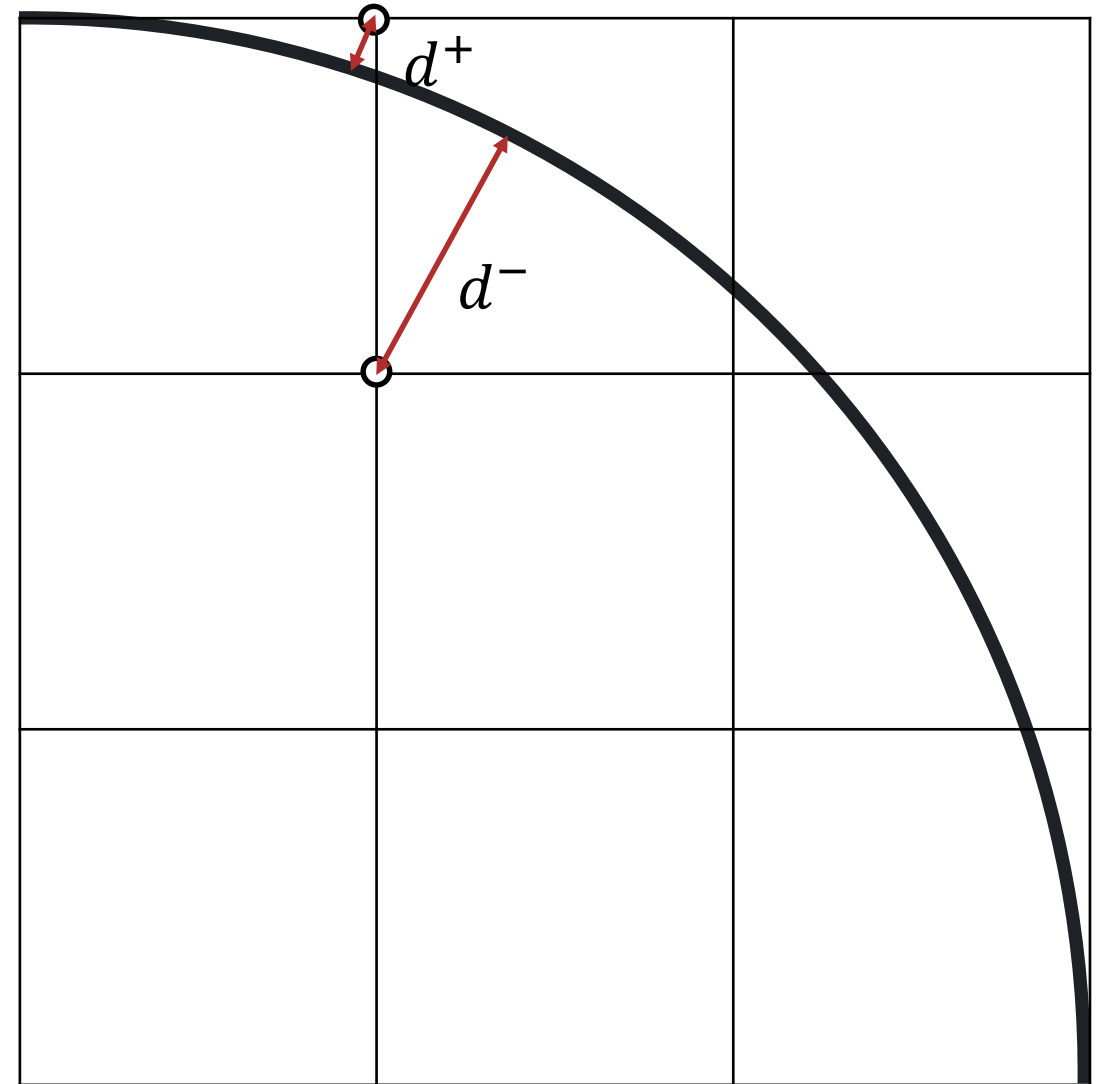
$$d = |x^2 + y^2 - r^2|$$



### 3.3 Rasterung von Kreisen

#### Bresenham-Algorithmus für Kreise

- Innerhalb des 2. Oktanten
  - Kreisfunktion monoton fallend
  - Steigung zwischen 0 und -1
  - $P^+$  liegt immer außerhalb der Kreislinie
  - $P^-$  liegt immer innerhalb der Kreislinie



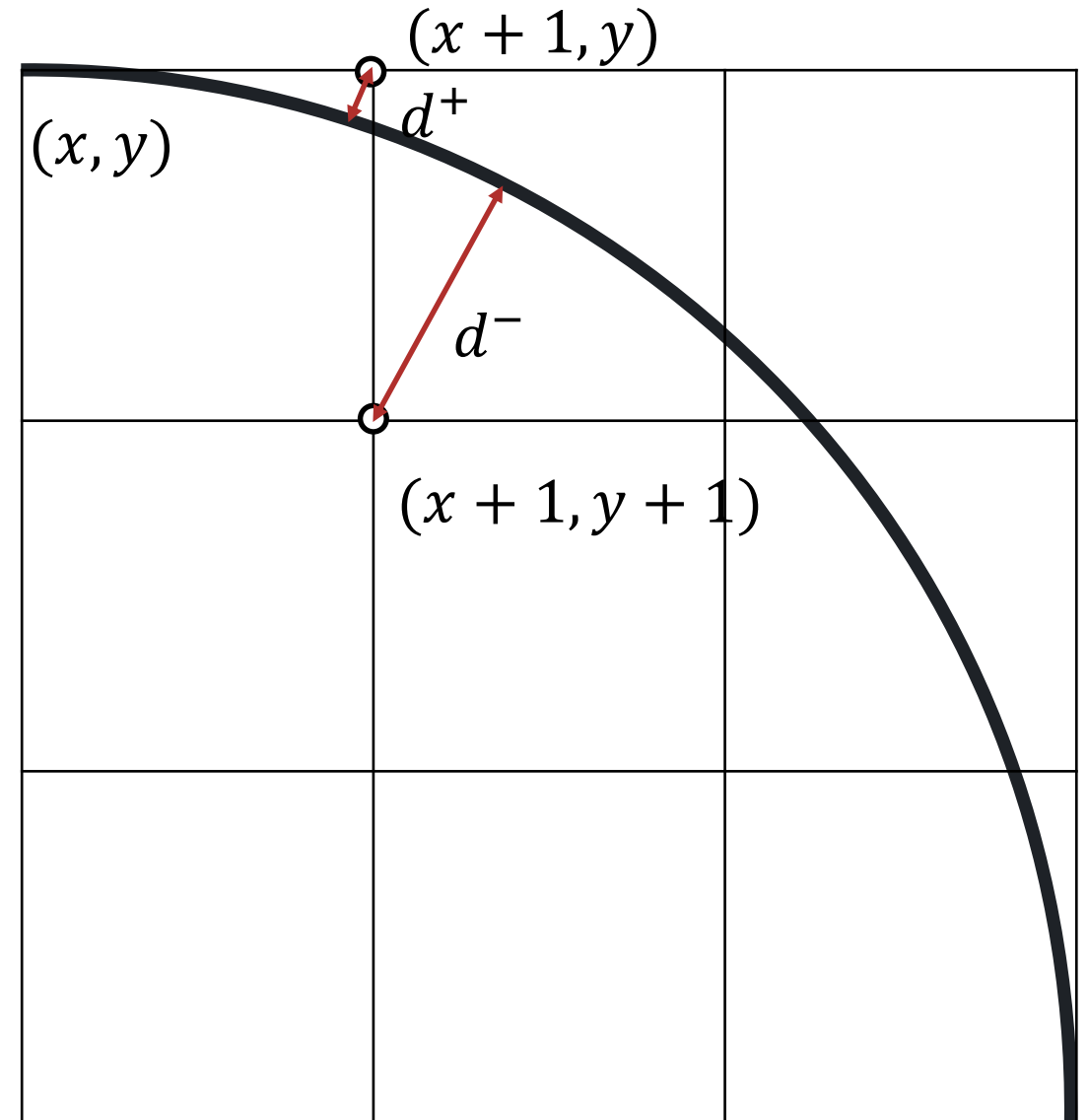
### 3.3 Rasterung von Kreisen

#### Bresenham-Algorithmus für Kreise

- Hier:
  - $(x_M, y_M) = (0,0)$
  - Startpunkt ist Rasterpunkt
  - $r \in \mathbb{N}$
  - 2. Oktant
- Gehe nach unten, wenn  $d^+ > d^-$

$$d^+ =$$
$$=$$

$$d^- =$$





### 3.3 Rasterung von Kreisen

#### Bresenham-Algorithmus für Kreise

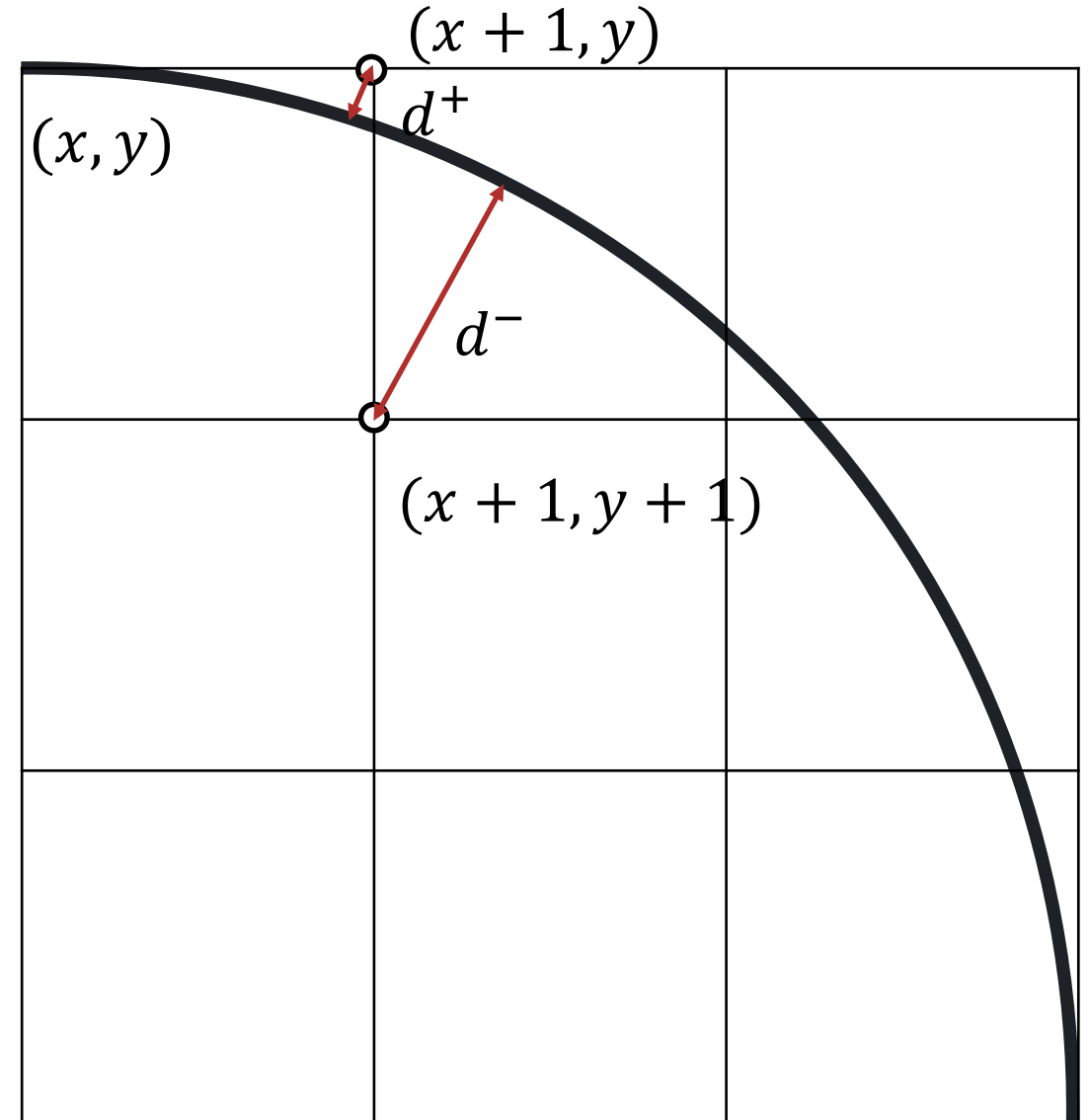
– Hier:

- $(x_M, y_M) = (0,0)$
- Startpunkt ist Rasterpunkt
- $r \in \mathbb{N}$
- 2. Oktant

– Gehe nach unten, wenn  $d^+ > d^-$

$$\begin{aligned}d^+ &= |(x_i + 1)^2 + y_i^2 - r^2| \\ &= (x_i + 1)^2 + y_i^2 - r^2\end{aligned}$$

$$\begin{aligned}d^- &= |(x_i + 1)^2 + (y_i - 1)^2 - r^2| \\ &= r^2 - (x_i + 1)^2 - (y_i - 1)^2\end{aligned}$$



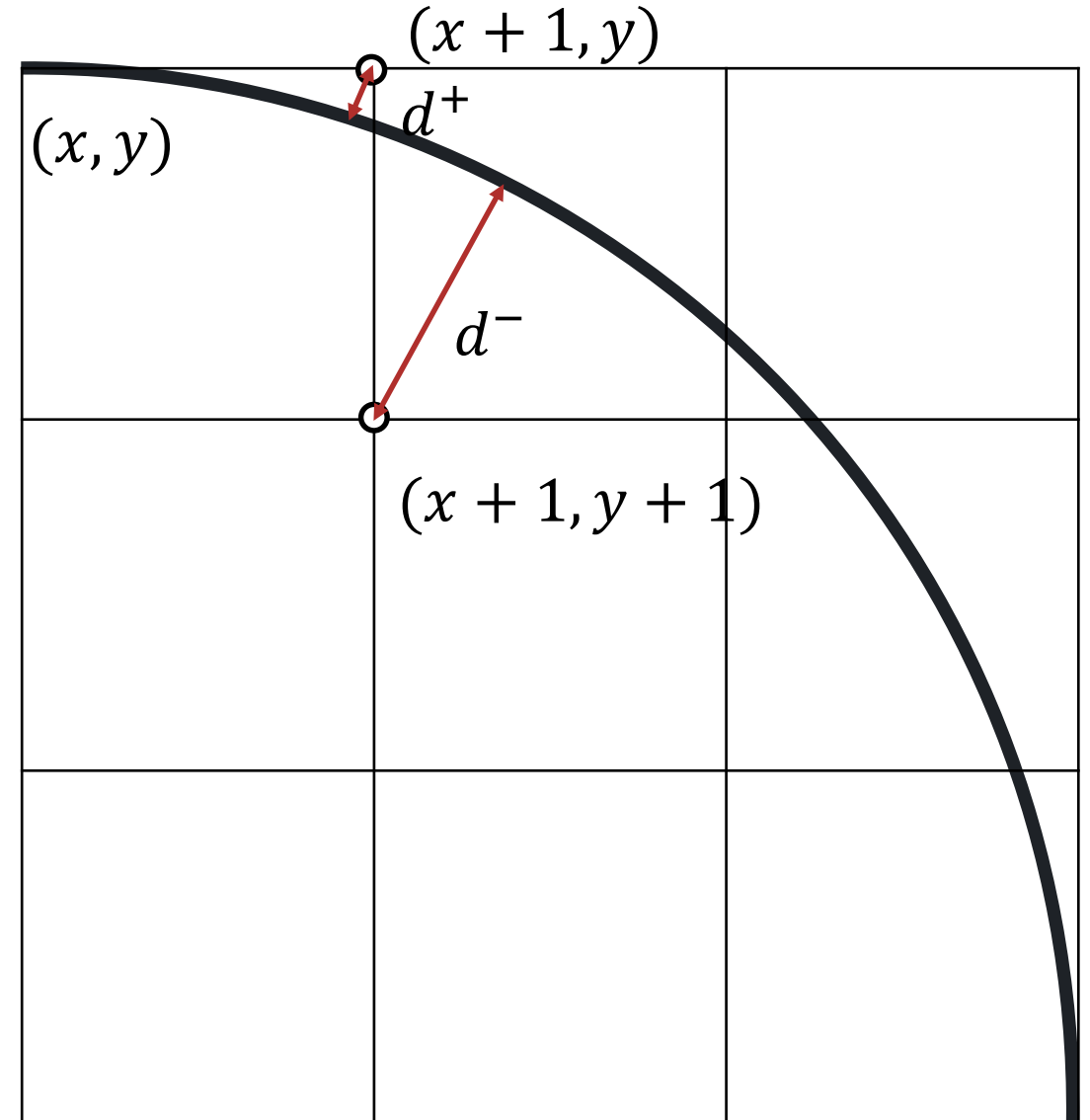
### 3.3 Rasterung von Kreisen

#### Bresenham-Algorithmus für Kreise

- Beste Approximation über **Entscheidungsgröße E** mittels minimalem Residuum  $E = d^+ - d^-$
- Gehe nach unten, wenn  $d^+ > d^- \Leftrightarrow E > 0$

$E \leq 0: x ++,$

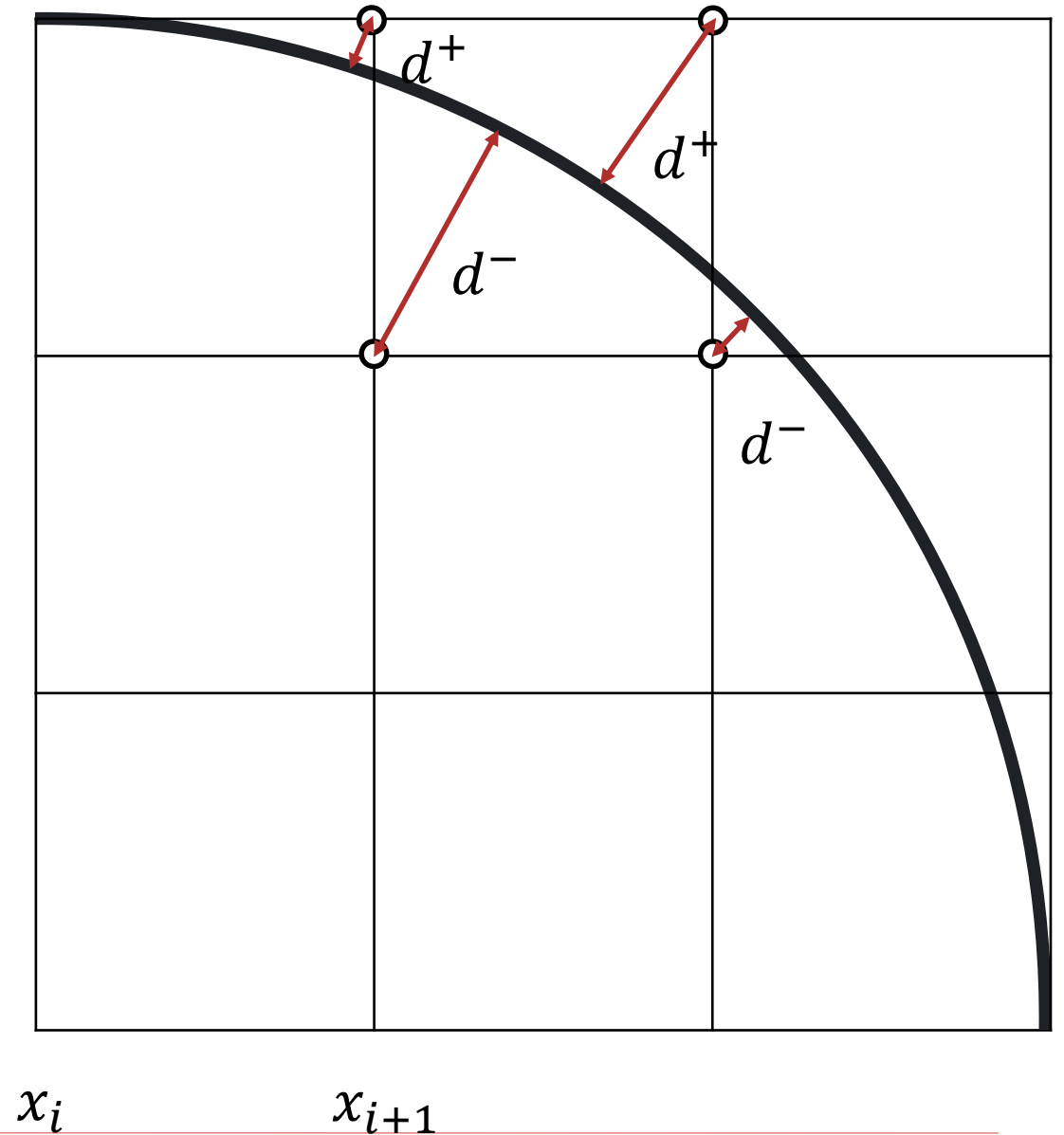
$E > 0: x ++, y --,$



## 3.3 Rasterung von Kreisen

### Bresenham-Algorithmus für Kreise

- Zur schnelleren Berechnung kann E **inkrementell** bestimmt werden



## 3.3 Rasterung von Kreisen

### Bresenham-Algorithmus für Kreise

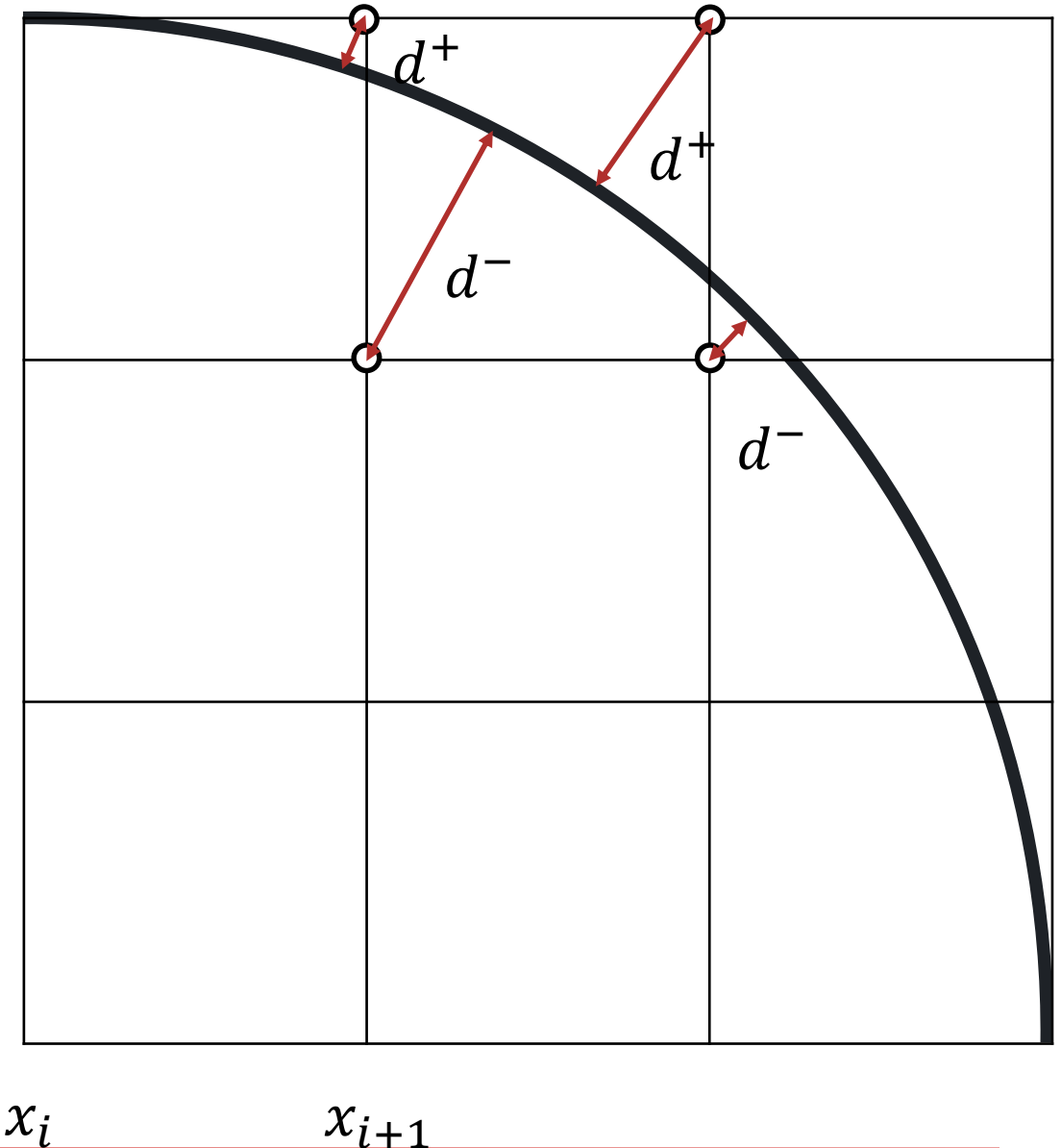
- Zur schnelleren Berechnung kann E **inkrementell** bestimmt werden
- $E \leq 0: x++$

$$\begin{aligned}d_{i+1}^+ &= (x_{i+1} + 1)^2 + y_{i+1}^2 - r^2 \\&= (x_i + 1 + 1)^2 + y_i^2 - r^2 \\&= (x_i + 1)^2 + 2(x_i + 1) + 1 + y_i^2 - r^2 \\&= d_i^+ + 2x_i + 3 \\&= d_i^+ + 2x_{i+1} + 1\end{aligned}$$

$$\begin{aligned}d_{i+1}^- &= r^2 - (x_{i+1} + 1)^2 - (y_{i+1} - 1)^2 \\&= r^2 - (x_i + 1 + 1)^2 - (y_i - 1)^2 \\&= r^2 - (x_i + 1)^2 - 2(x_i + 1) - 1 - (y_i - 1)^2 \\&= d_i^- - 2x_i - 3 \\&= d_i^- - 2x_{i+1} - 1\end{aligned}$$

$E_{i+1}$

:



## 3.3 Rasterung von Kreisen

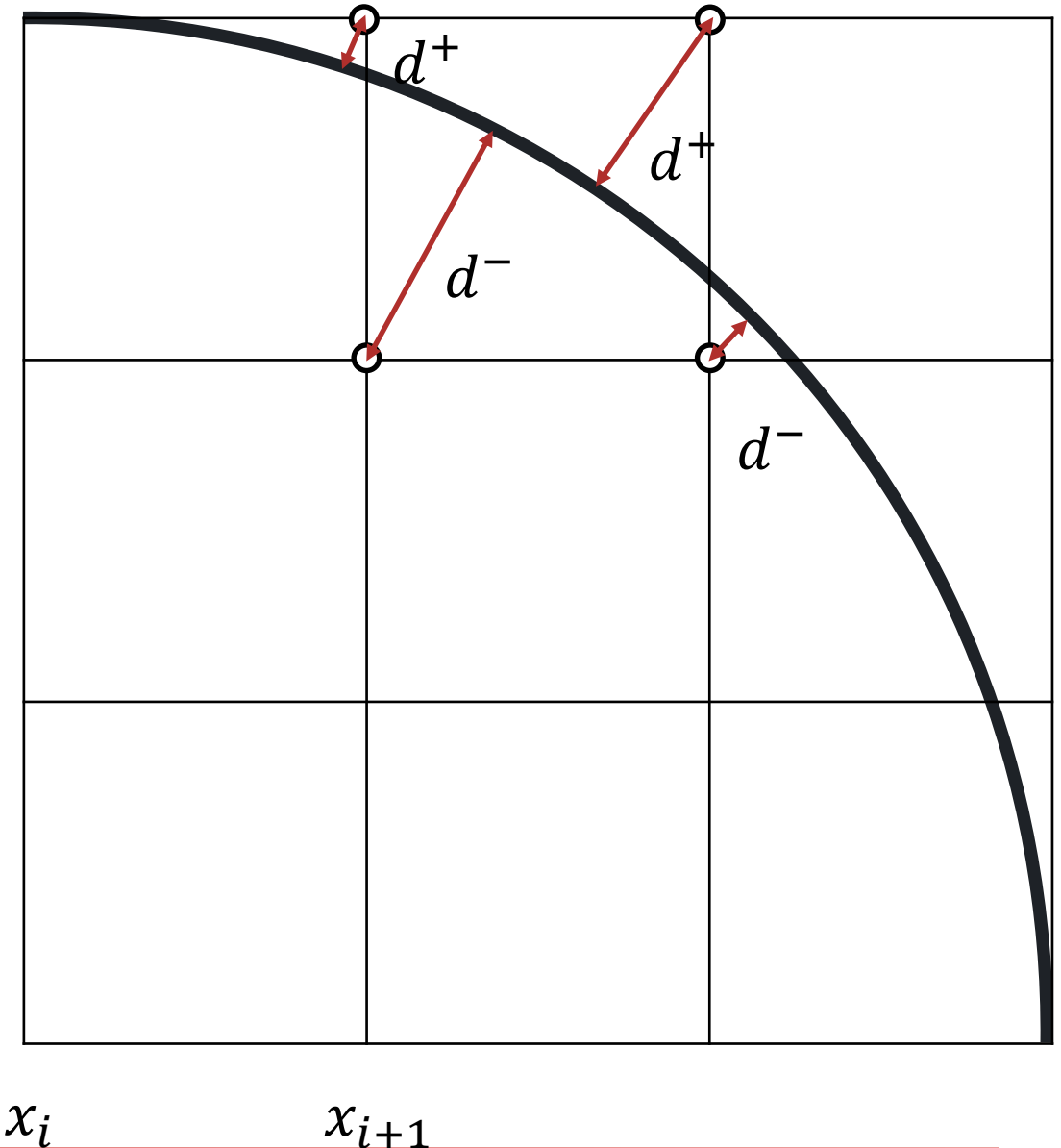
### Bresenham-Algorithmus für Kreise

- Zur schnelleren Berechnung kann E **inkrementell** bestimmt werden
- $E \leq 0: x++$

$$\begin{aligned}d_{i+1}^+ &= (x_{i+1} + 1)^2 + y_{i+1}^2 - r^2 \\&= (x_i + 1 + 1)^2 + y_i^2 - r^2 \\&= (x_i + 1)^2 + 2(x_i + 1) + 1 + y_i^2 - r^2 \\&= d_i^+ + 2x_i + 3 \\&= d_i^+ + 2x_{i+1} + 1\end{aligned}$$

$$\begin{aligned}d_{i+1}^- &= r^2 - (x_{i+1} + 1)^2 - (y_{i+1} - 1)^2 \\&= r^2 - (x_i + 1 + 1)^2 - (y_i - 1)^2 \\&= r^2 - (x_i + 1)^2 - 2(x_i + 1) - 1 - (y_i - 1)^2 \\&= d_i^- - 2x_i - 3 \\&= d_i^- - 2x_{i+1} - 1\end{aligned}$$

$$\begin{aligned}E_{i+1} &= d_{i+1}^+ - d_{i+1}^- \\&= d_i^+ + 2x_{i+1} + 1 - d_i^- + 2x_{i+1} + 1 \\&= E_i + 4x_{i+1} + 2\end{aligned}$$



## 3.3 Rasterung von Kreisen

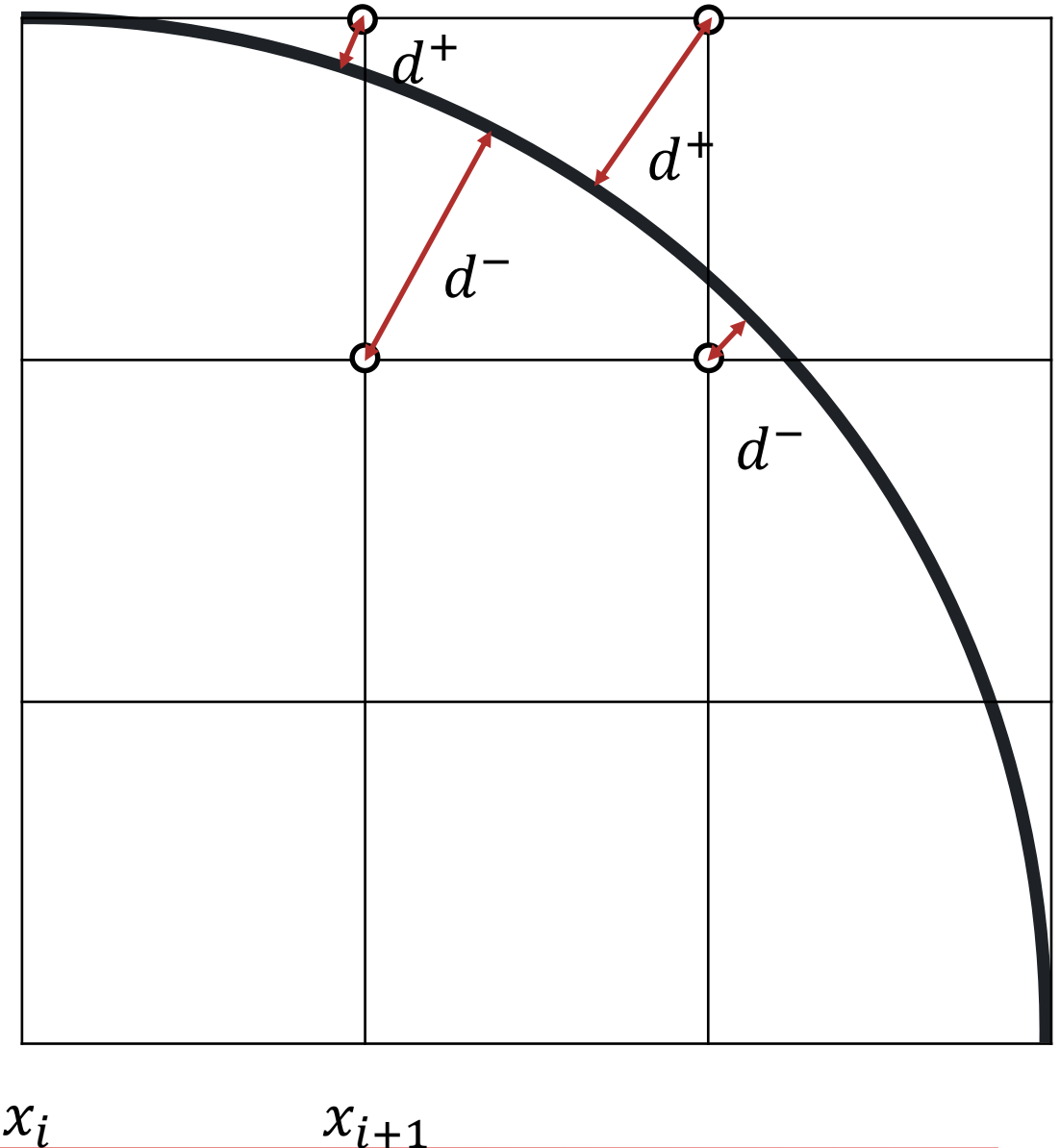
### Bresenham-Algorithmus für Kreise

- Zur schnelleren Berechnung kann E **inkrementell** bestimmt werden
- $E > 0: x + +, y - -$

$$\begin{aligned}d_{i+1}^+ &= (x_{i+1} + 1)^2 + y_{i+1}^2 - r^2 \\&= (x_i + 1 + 1)^2 + (y_i - 1)^2 - r^2 \\&= (x_i + 1)^2 + 2(x_i + 1) + 1 + y_i^2 - 2y_i + 1 - r^2 \\&= d_i^+ + 2x_i - 2y_i + 4 \\&= d_i^+ + 2x_{i+1} - 2y_{i+1}\end{aligned}$$

$$\begin{aligned}d_{i+1}^- &= r^2 - (x_{i+1} + 1)^2 - (y_{i+1} - 1)^2 \\&= r^2 - (x_i + 1 + 1)^2 - (y_i - 1 - 1)^2 \\&= r^2 - (x_i + 1)^2 - 2(x_i + 1) - 1 - (y_i - 1)^2 + 2(y_i - 1) - 1 \\&= d_i^- - 2x_i + 2y_i - 6 \\&= d_i^- - 2x_{i+1} + 2y_{i+1} - 2\end{aligned}$$

$$\begin{aligned}E_{i+1} &= d_{i+1}^+ - d_{i+1}^- \\&= d_i^+ + 2x_{i+1} - 2y_{i+1} - d_i^- + 2x_{i+1} - 2y_{i+1} + 2 \\&= E_i + 4(x_i - y_i) + 2\end{aligned}$$



### 3.3 Rasterung von Kreisen

#### Bresenham-Algorithmus für Kreise

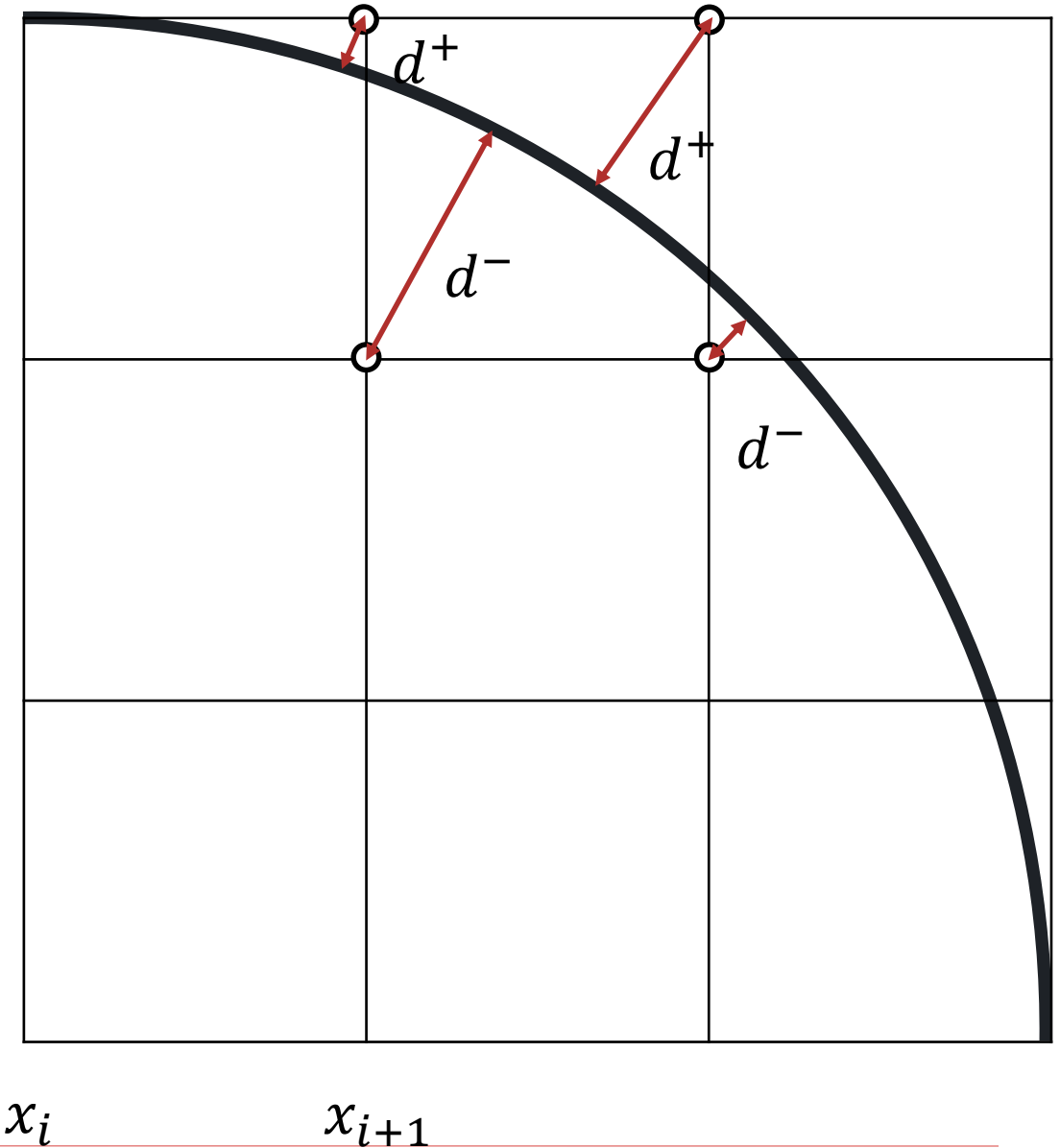
– Aktualisierung:

–  $E \leq 0: x++$ ,

$$E_{i+1} = E_i + 4x_i + 2$$

–  $E > 0: x++, y--$ ,

$$E_{i+1} = E_i + 4(x_i - y_i) + 2$$



### 3.3 Rasterung von Kreisen

#### Bresenham-Algorithmus für Kreise

– Startwerte:

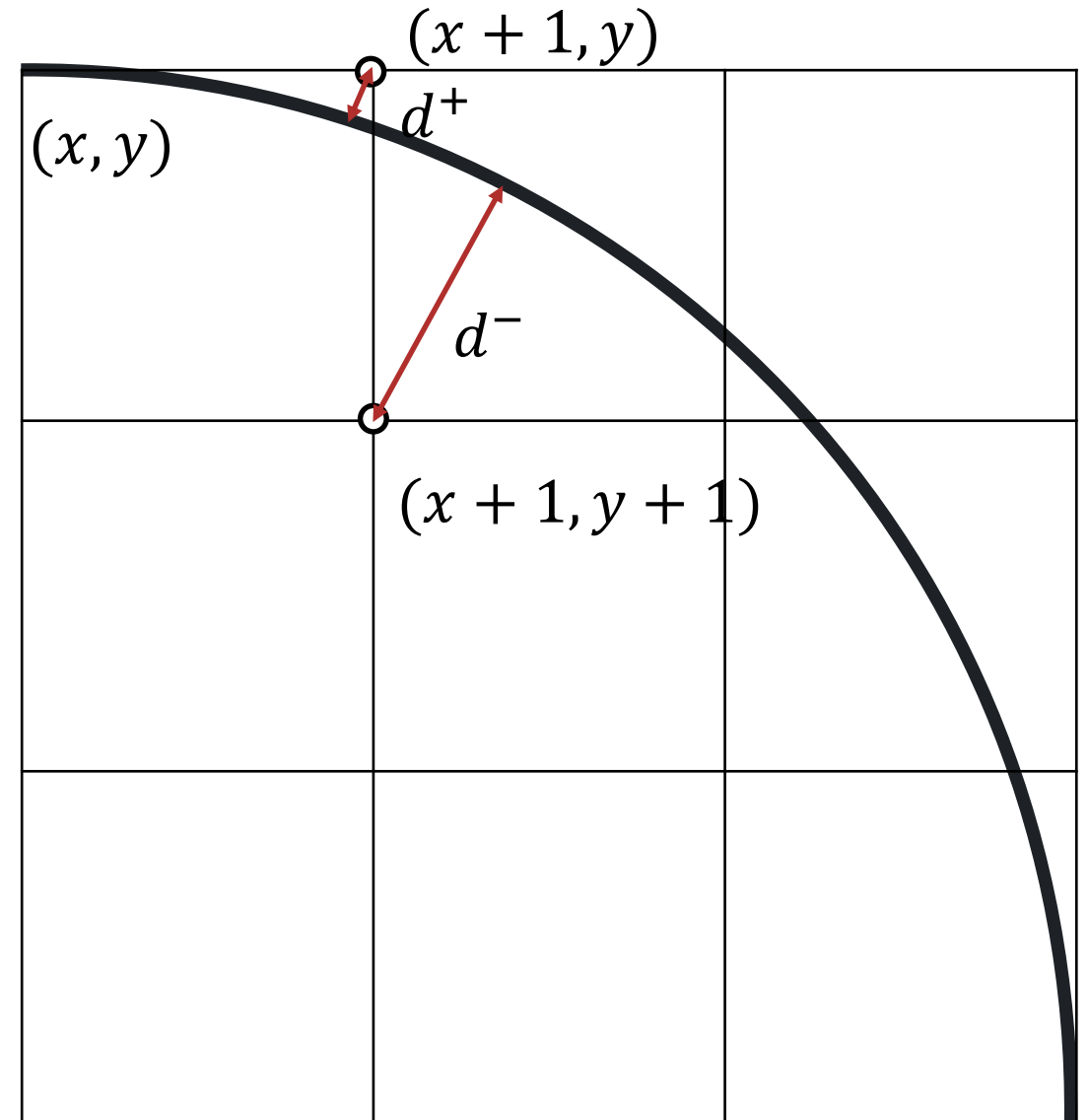
–  $x_1 = 0$

–  $y_1 = r$

$$d_1^+$$

$$d_1^-$$

$$E_1$$





### 3.3 Rasterung von Kreisen

#### Bresenham-Algorithmus für Kreise

– Startwerte:

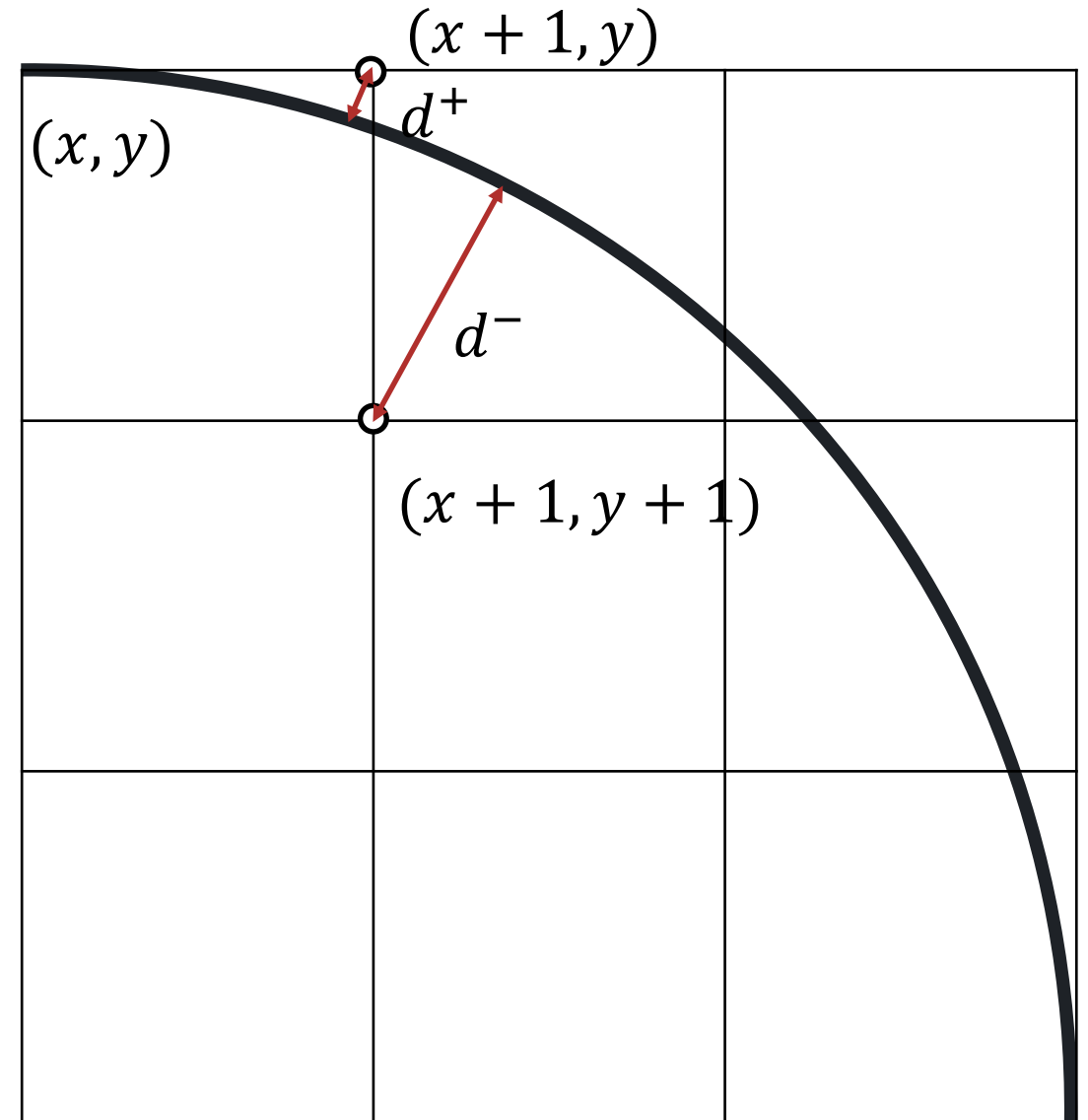
–  $x_1 = 0$

–  $y_1 = r$

$$\begin{aligned} d_1^+ &= (x_1 + 1)^2 + y_1^2 - r^2 \\ &= 1 + r^2 - r^2 \\ &= 1 \end{aligned}$$

$$\begin{aligned} d_1^- &= r^2 - (x_1 + 1)^2 - (y_1 - 1)^2 \\ &= r^2 - 1 - r^2 + 2r - 1 \\ &= 2r - 2 \end{aligned}$$

$E_1$



## 3.3 Rasterung von Kreisen

### Bresenham-Algorithmus für Kreise

– Startwerte:

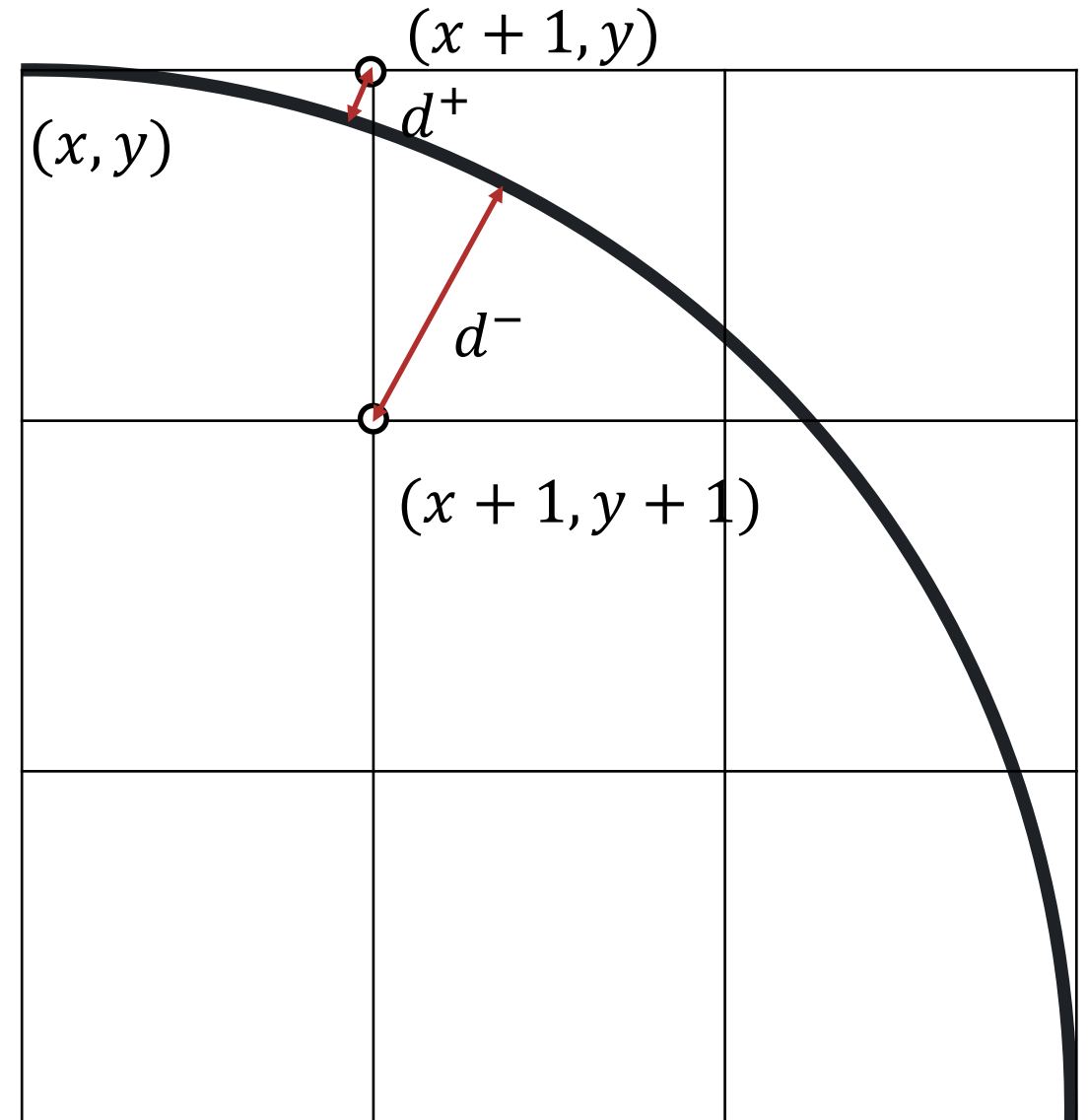
–  $x_1 = 0$

–  $y_1 = r$

$$\begin{aligned} d_1^+ &= (x_1 + 1)^2 + y_1^2 - r^2 \\ &= 1 + r^2 - r^2 \\ &= 1 \end{aligned}$$

$$\begin{aligned} d_1^- &= r^2 - (x_1 + 1)^2 - (y_1 - 1)^2 \\ &= r^2 - 1 - r^2 + 2r - 1 \\ &= 2r - 2 \end{aligned}$$

$$\begin{aligned} E_1 &= d_1^+ - d_1^- \\ &= 1 - 2r + 2 \\ &= 3 - 2r \end{aligned}$$



## 3.3 Rasterung von Kreisen

### Bresenham-Algorithmus für Kreise

```
x = 0
y = r
E = 3 - 2*r
zeichneAchtPunkte(x,y)
solange x < y wiederhole:
    x = x + 1
    falls E > 0 dann
        y = y - 1
        E = E + 4(x-y) + 2
    sonst E = E + 4x + 2
    zeichneAchtPunkte(x,y)
ende solange
```

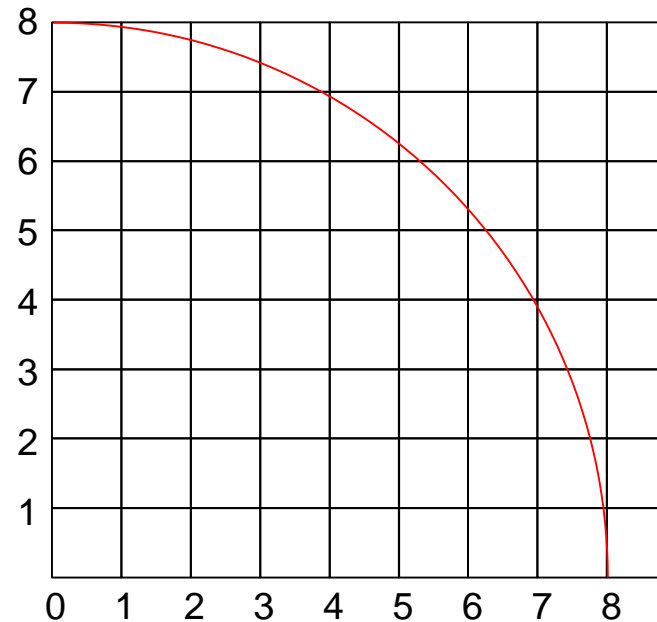
- 2. Oktant
- nur ganzzahlige Operatoren

## 3.3 Rasterung von Kreisen

### Bresenham-Algorithmus für Kreise

```
x = 0
y = r
E = 3 - 2*r
zeichneAchtPunkte(x,y)
solange x < y wiederhole:
    x = x + 1
    falls E > 0 dann
        y = y - 1
        E = E + 4(x-y) + 2
    sonst E = E + 4x + 2
    zeichneAchtPunkte(x,y)
ende solange
```

– Beispiel:  $r = 8$



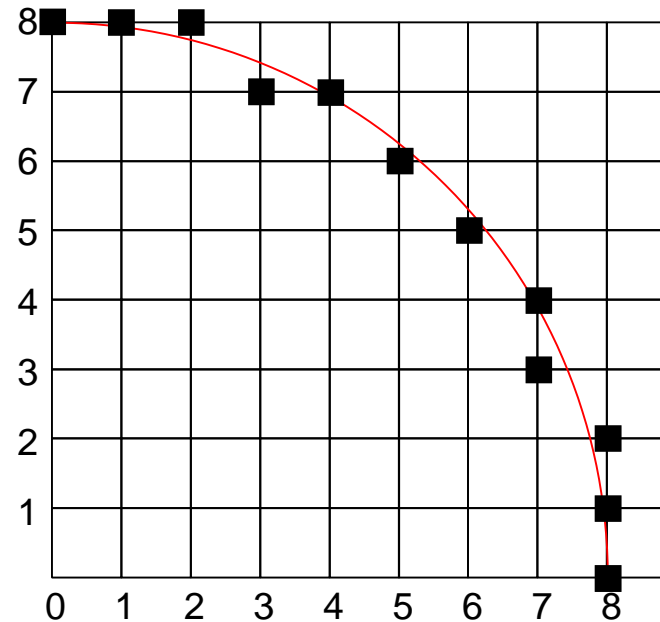
x	y	E	plot

## 3.3 Rasterung von Kreisen

### Bresenham-Algorithmus für Kreise

```
x = 0
y = r
E = 3 - 2*r
zeichneAchtPunkte(x,y)
solange x < y wiederhole:
    x = x + 1
    falls E > 0 dann
        y = y - 1
        E = E + 4(x-y) + 2
    sonst E = E + 4x + 2
    zeichneAchtPunkte(x,y)
ende solange
```

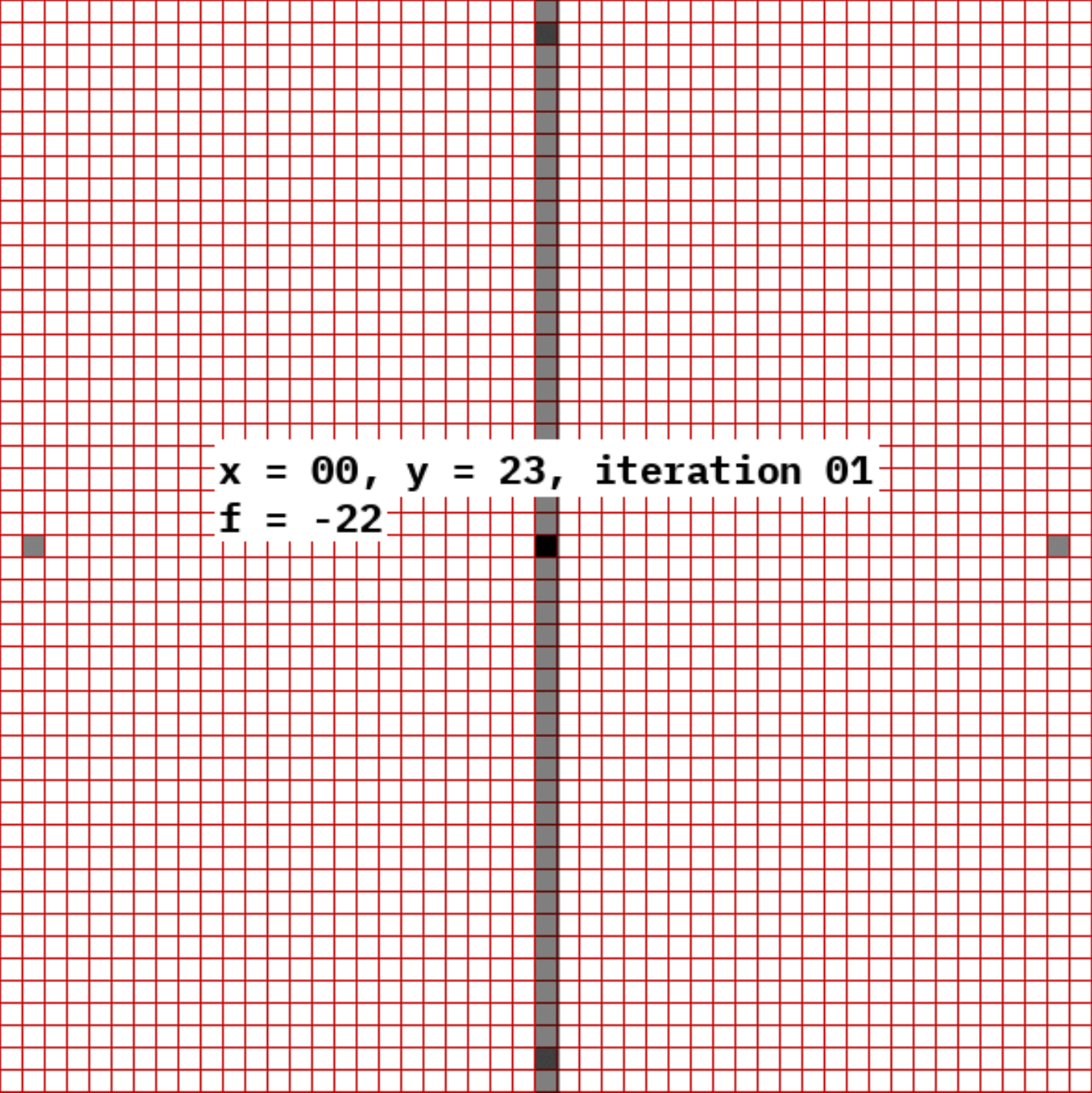
– Beispiel:  $r = 8$



x	y	E	plot
0	8	-13	(0, 8)
1	8	-7	(1, 8)
2	8	3	(2, 8)
3	7	-11	(3, 7)
4	7	7	(4, 7)
5	6	5	(5, 6)
6	5	11	(6, 5)

## 3.3 Rasterung von Kreisen

### Bresenham-Algorithmus für Kreise



```
x = 00, y = 23, iteration 01  
f = -22
```

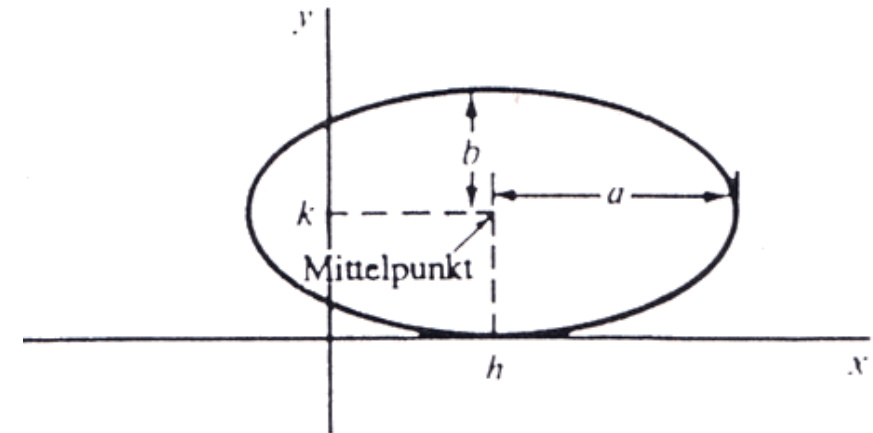
## 3.3 Rasterung von Kreisen

### Ellipsendarstellung

- Zur Rasterung betrachtet man die Ellipsen
  - in **Normalform**
  - mit zu den **Koordinatenachsen parallelen Hauptachsen**
- Algorithmus von Kappel

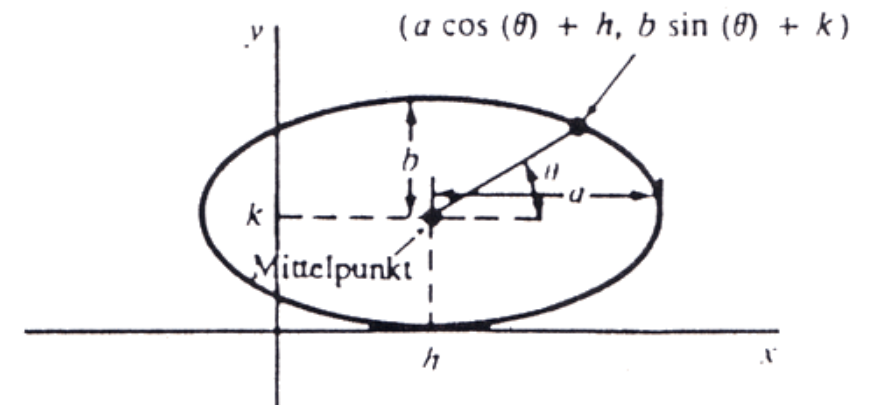
- o Ellipsenerzeugung über die implizite Darstellung

$$\frac{(x - h)^2}{a^2} + \frac{(y - k)^2}{b^2} = 1$$



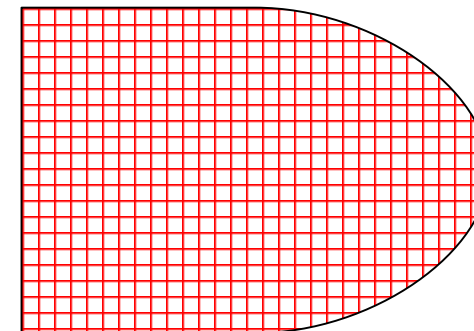
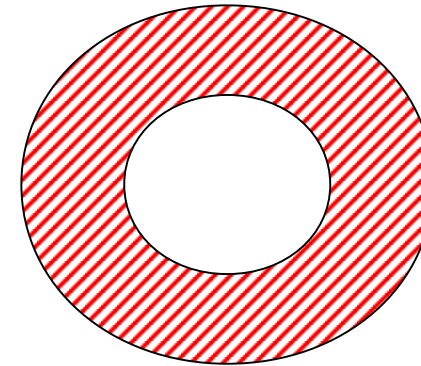
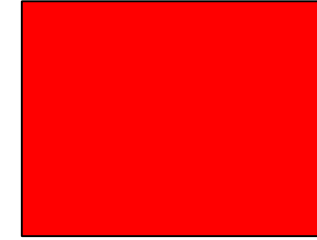
- o Ellipsenerzeugung über die Parameterdarstellung

$$x = h + a \cos \theta \quad y = k + b \sin \theta$$



### 3.4 Füllalgorithmen

- Ziel: Füllen bzw. Einfärben eines begrenzten Bereiches oder Gebietes mit einer Füllfarbe oder einem Muster bzw. einer Schraffur
- Beispiele:
  - Balkendiagramme
  - Flächen
  - Körper
- Beschreibung der zu füllenden Gebiete erfolgt geometrisch,
  - Durch Ecken, Strecken, Polygone, Kreise (randdefiniert)
  - Durch Pixel (inhaltsdefiniert)

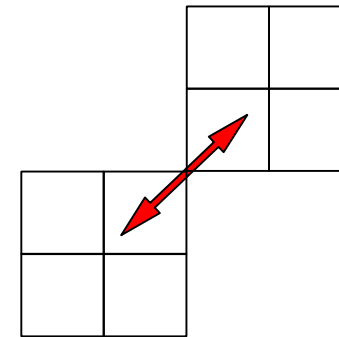
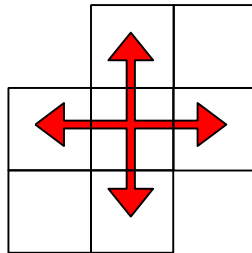




## 3.4 Füllalgorithmen

### Zusammenhang von Gebieten

- 4-fach zusammenhängend (nur Horizontal- und Vertikalbewegung)
- 8-fach zusammenhängend (zusätzlich Diagonalbewegung möglich)



## 3.4 Füllalgorithmen

- Bemerkungen
  - Füllalgorithmen mit **8 Freiheitsgraden** (Bewegungsrichtungen) können **auch 4-fach** zusammenhängende Gebiete füllen.
  - Füllalgorithmen mit **4 Freiheitsgraden** können **keine 8-fach** zusammenhängenden Gebiete füllen.
- Problem:  
4-fach zusammenhängende Gebiete mit gemeinsamen Ecken
- Techniken zum Rastern eines Polygons / Füllen eines Gebietes
  - Scan-Line-Methode
  - Saatkorn-Methode
  - Hybrid-Methoden

## 3.4 Füllalgorithmen

### Scan-Line-Methode

- Andere Bezeichnungen
  - Rasterzeilen-Methode
  - Scan-Conversion
- Arbeitet zeilenweise von oben nach unten
- Ein Pixel der aktuellen Zeile (Scan-Line) wird nur dann gezeichnet, wenn es innerhalb des Polygons liegt
- Definition der Gebiete
  - Geometrisch
  - Pixelweise

## 3.4 Füllalgorithmen

### Scan-Line-Methode

- // einfachster Ansatz:
  - for (y = ymin; y <= ymax; y++) {
    - // row, Zeile
    - for (x = xmin; x <= xmax; x++) {
      - // column, Spalte
      - if (Inside(polygon, x, y) {
        - SetPixel(x,y);
      - }
    - }
  - }
- Eigenschaften
    - Sehr langsam
    - Verbesserung der Laufzeit durch Ausnutzung von Kohärenz

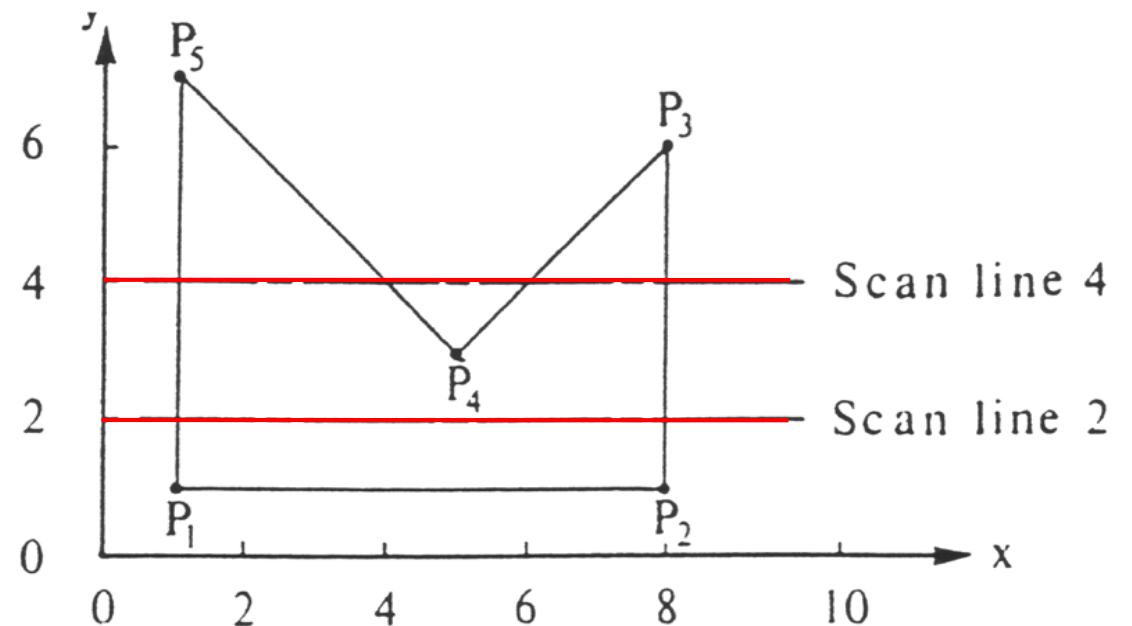
## 3.4 Füllalgorithmen

### Scan-Line-Methode

- Ausnutzung von Zeilenkohärenz
  - Benachbarte Pixel auf einer Zeile besitzen höchstwahrscheinlich die gleichen Intensitätswerte.
  - Pixelcharakteristik (Intensität) ändert sich nur dort, wo ein Schnittpunkt einer Polygonkante mit einer Scan Line vorliegt, d.h. der Bereich zwischen zwei Schnittpunkten gehört zum Polygon oder nicht.

- Schnitt mit Polygon

- $y = 2$ : für  $x = 1,8$
- $y = 4$ : für  $x = 1,4,6,8$

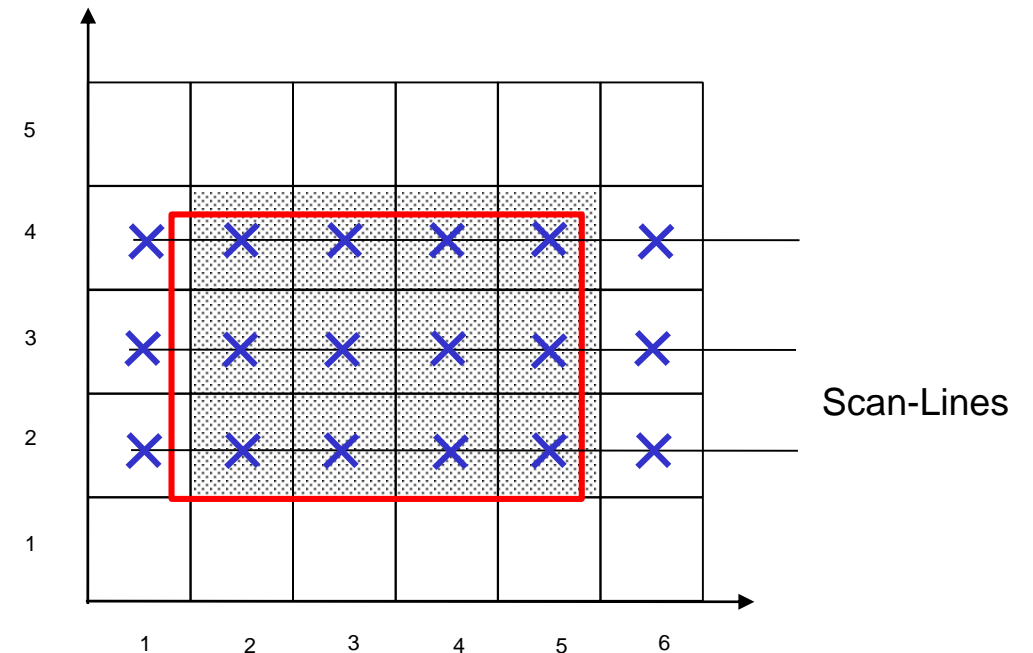


## 3.4 Füllalgorithmen

### Scan-Line-Methode

- Ausnutzung von Zeilenkohärenz
  - Benachbarte Pixel auf einer Zeile besitzen höchstwahrscheinlich die gleichen Intensitätswerte.
  - Pixelcharakteristik (Intensität) ändert sich nur dort, wo ein Schnittpunkt einer Polygonkante mit einer Scan Line vorliegt, d.h. der Bereich zwischen zwei Schnittpunkten gehört zum Polygon oder nicht.

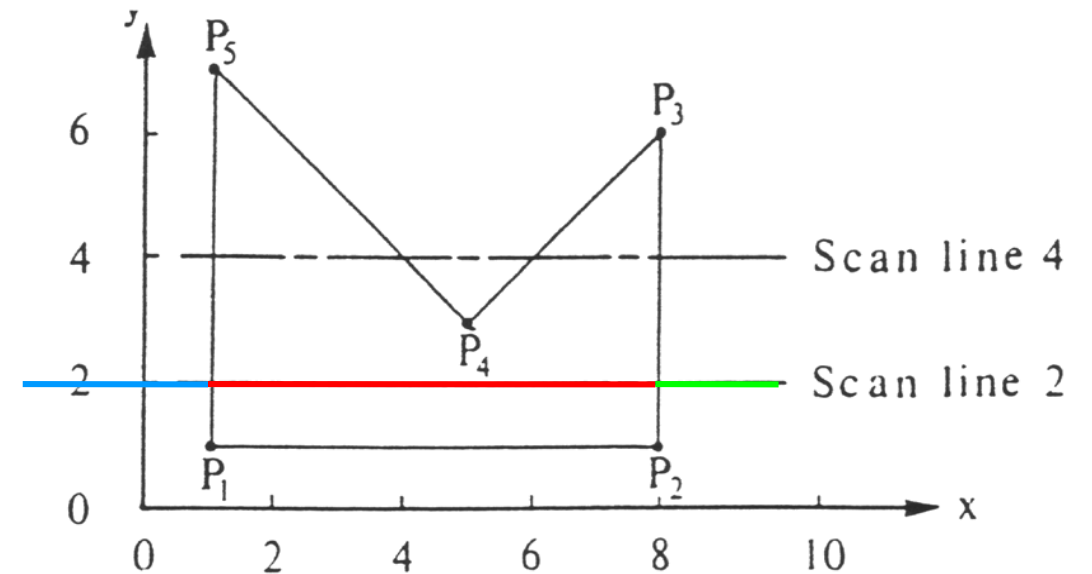
- Hier sind die Pixelzeilen und -spalten nummeriert, nicht die Koordinaten der Achsen!



## 3.4 Füllalgorithmen

### Scan-Line-Methode

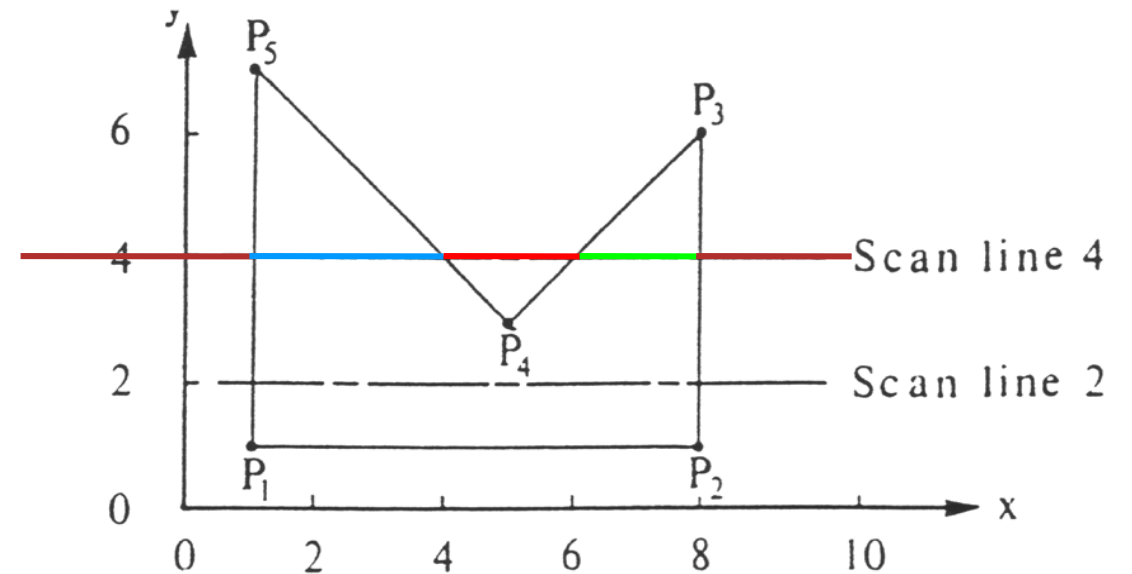
- Scan-Line  $y = 2$
- Unterteilung in 3 Bereiche:
  - $x < 1$  außerhalb des Polygons
  - $1 \leq x \leq 8$  innerhalb des Polygons
  - $x > 8$  außerhalb des Polygons



## 3.4 Füllalgorithmen

### Scan-Line-Methode

- Scan-Line  $y = 4$
- Unterteilung in 5 Bereiche:
  - $x < 1$  außerhalb des Polygons
  - $1 \leq x \leq 4$  innerhalb des Polygons
  - $4 < x < 6$  außerhalb des Polygons
  - $6 \leq x \leq 8$  innerhalb des Polygons
  - $8 < x$  außerhalb des Polygons



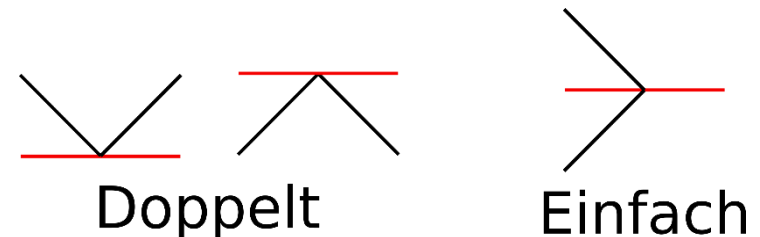


## 3.4 Füllalgorithmen

### Scan-Line-Methode

- Probleme treten auf, wenn die Scan-Line das Polygon in einer Ecke schneidet  
→ Betrachte **lokale Extrema**
- Lokale Extrema:
  - y-Werte der **Endpunkte** der in dieser Ecke beginnenden Polygonseiten sind **beide größer** oder **beide kleiner** als der y-Wert der **Schnittecke**.
  - Fallunterscheidung:
    - Ist die Ecke ein lokales Extremum, so zählt der **Schnitt zweifach**.
    - Ist die Ecke kein lokales Extremum, so zählt der **Schnitt nur einfach**.

- Einfacher Kanten-Listen-Algorithmus: Ordered Edge List Algorithm
- Funktionsweise:
  - Preprocessing
  - Scan Conversion



## 3.4 Füllalgorithmen

### Scan-Line-Methode

#### – Preprocessing

- Ermittle für jede Polygonkante die **Schnittpunkte mit den Scan-Lines** in der Pixelmitte
  - Bresenham
  - DDA-Algorithmus
- Ignoriere dabei **horizontale Kanten**
- **Speichere** jeden Schnittpunkt  $(x, y)$  in einer Liste
- **Sortiere die Liste** dann von oben nach unten und von links nach rechts

#### – Scan-Conversion

- Betrachte jeweils zwei direkt **aufeinander folgende Schnittpunkte**  $(x_1, y_1)$  und  $(x_2, y_2)$  der Liste
  - Listenelemente 1 und 2
  - Listenelemente 3 und 4
  - ...
- Aufgrund des Preprocessing gilt für die Scan-Line  $y$   
 $y = y_1 = y_2$  und  $x_1 \leq x_2$
- Zeichne alle Pixel auf der Scan-Line  $y$ , für die gilt:  
 $x_1 \leq x < x_2$  mit ganzzahligem  $x$

## 3.4 Füllalgorithmen

### Scan-Line-Methode: Preprocessing

(1,7), (1,7)

(1,6), (2,6), (8,6), (8,6)

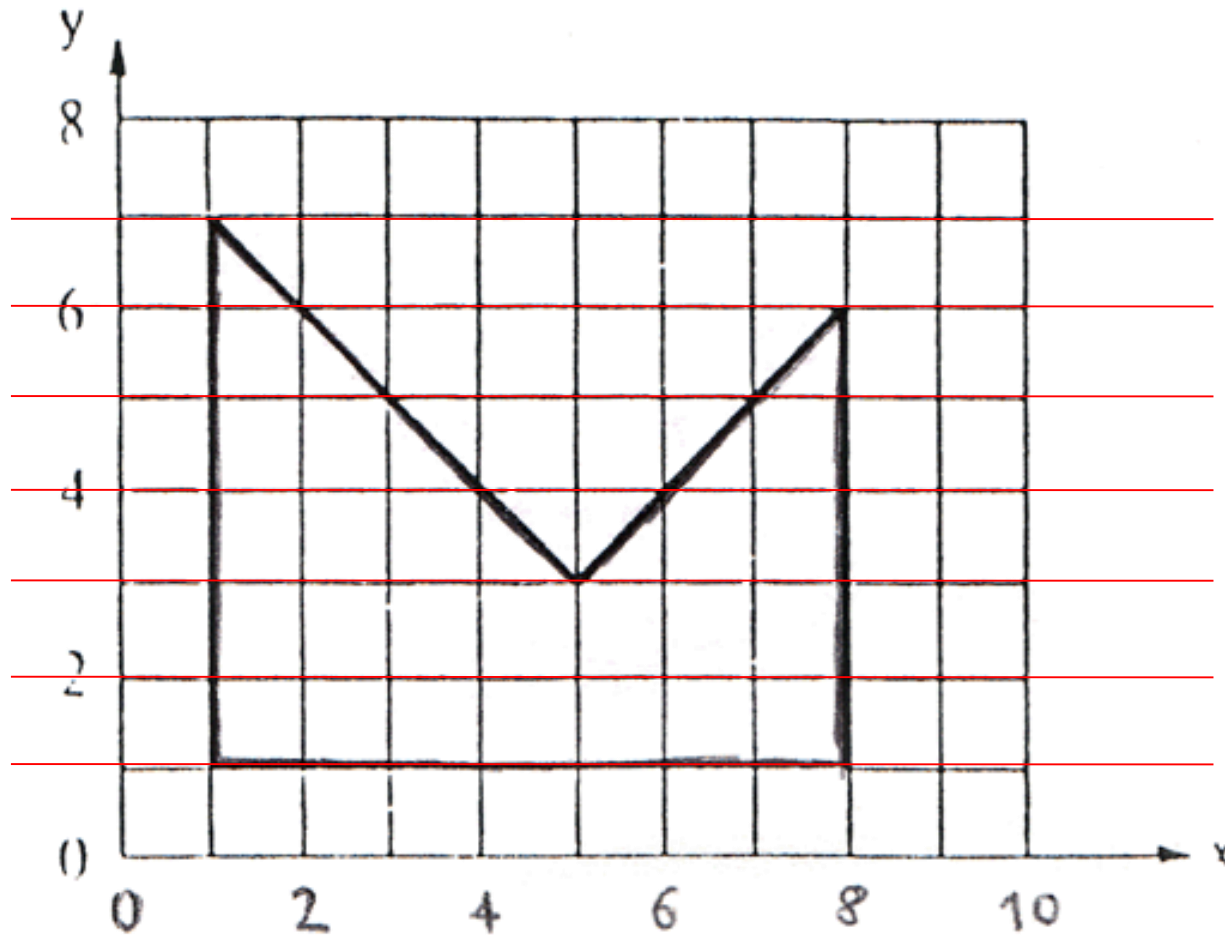
(1,5), (3,5), (7,5), (8,5)

(1,4), (4,4), (6,4), (8,4)

(1,3), (5,3), (5,3), (8,3)

(1,2), (8,2)

(1,1), (8,1)



## 3.4 Füllalgorithmen

### Scan-Line-Methode: Scan-Conversion

(1,7), (1,7)

(1,6), (2,6), (8,6), (8,6)

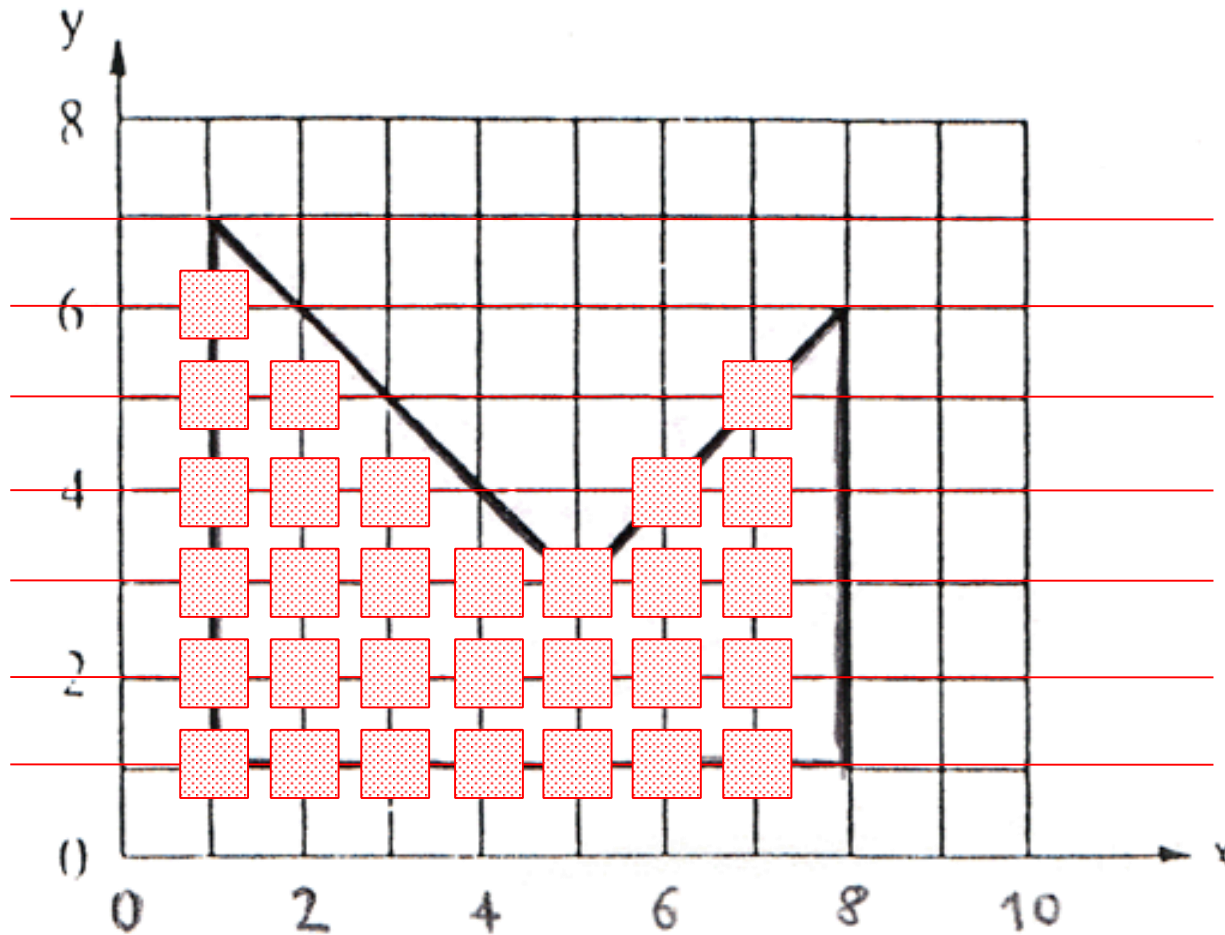
(1,5), (3,5), (7,5), (8,5)

(1,4), (4,4), (6,4), (8,4)

(1,3), (5,3), (5,3), (8,3)

(1,2), (8,2)

(1,1), (8,1)



## 3.4 Füllalgorithmen

### Saatpunkt-Methode / Seed-Fill

- Seed-Fill-Methoden füllen das Gebiet ausgehend von einem **Ausgangspixel** (Saatpunkt, Seed)
- Eignet sich für **pixelweise definierte Gebiete**, also für Rastergeräte
- Man unterscheidet nach der Art der Gebietsdefinition:
  - i. **Boundary-Fill-Algorithmus**  
für randdefinierte Gebiete
  - ii. **Flood/Interior-Fill-Algorithmus**  
für inhaltsdefinierte Gebiete

## 3.4 Füllalgorithmen

### Saatpunkt-Methode / Seed-Fill

#### i. Boundary-Fill-Algorithmus

- Input
  - Startpunkt (Saatpunkt)
  - Farbe der **Begrenzungskurve**
  - Füllfarbe oder Muster
- Algorithmus
  - Wiederhole
    - Vom Startpixel ausgehend werden rekursiv Nachbarpixel umgefärbt
  - Bis Pixel mit **der Farbe der Begrenzungskurve oder bereits umgefärbte Pixel** erreicht werden

## 3.4 Füllalgorithmen

### Saatpunkt-Methode / Seed-Fill

#### i. Boundary-Fill-Algorithmus

- Input
  - Startpunkt (Saatpunkt)
  - Farbe der **Begrenzungskurve**
  - Füllfarbe oder Muster
- Algorithmus
  - Wiederhole
    - Vom Startpixel ausgehend werden rekursiv Nachbarpixel umgefärbt
  - Bis Pixel mit **der Farbe der Begrenzungskurve oder bereits umgefärbte Pixel** erreicht werden

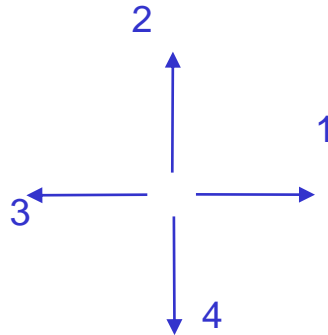
#### ii. Flood/Interior-Fill-Algorithmus

- Input
  - Startpunkt (Saatkorn)
  - Farbe der **umzufärbenden Pixel**
  - Füllfarbe oder Muster
- Algorithmus
  - Wiederhole
    - Vom Startpixel ausgehend werden rekursiv Nachbarpixel umgefärbt
  - Bis Pixel mit **abweichender Farbe** erreicht werden

## 3.4 Füllalgorithmen

### Saatpunkt-Methode / Seed-Fill

- Einfacher Saatkorn-Algorithmus
  - 4 Bewegungsrichtungen
  - randdefiniertes Gebiet
  - FILO/LIFO-Prinzip (Stack)
- Eventuell werden Pixel mehrfach im Stack abgelegt (und gefärbt)



```
Empty(stack);
Push(stack, seed-pixel);

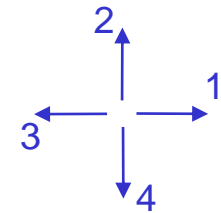
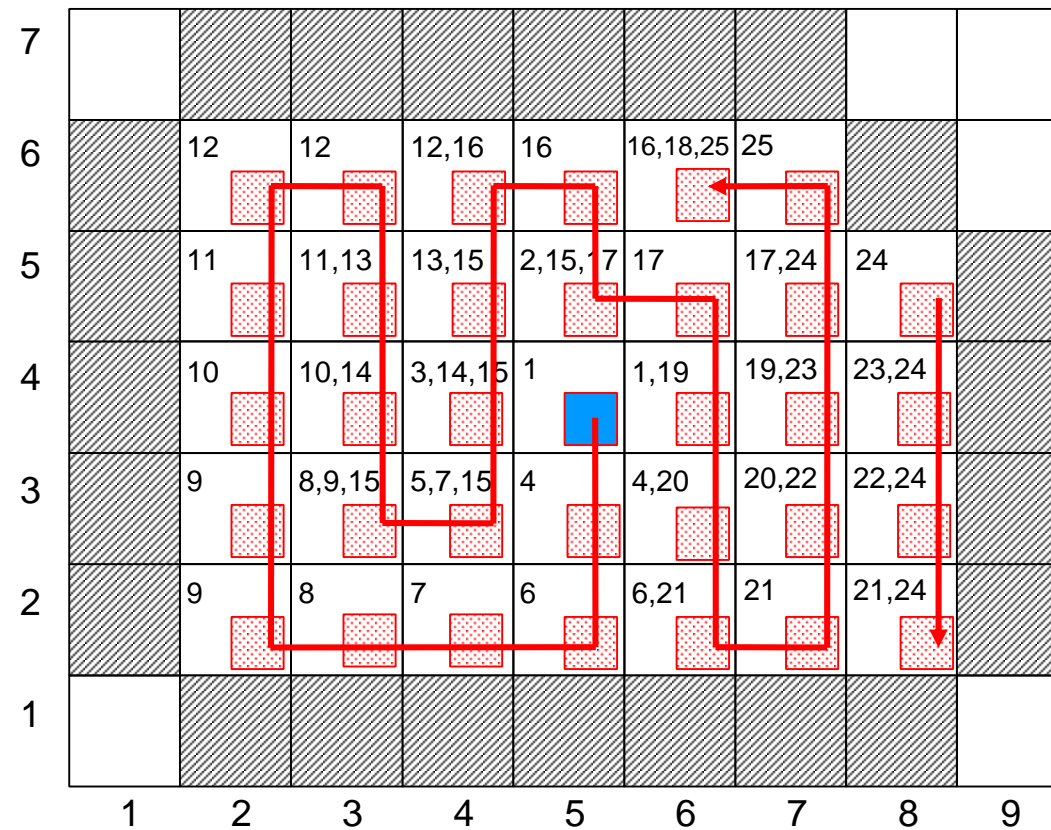
while(stack not empty) {
    pixel = Pop(stack);
    setColor(pixel, FillColor);
    for (each of the 4-connected pixels pi) {
        if (! ((pi == boundary_pixel)
            || (colorOf(pi) == FillColor))) {
            Push(stack, pi);
        }
    }
}
```



## 3.4 Füllalgorithmen

### Saatpunkt-Methode / Seed-Fill

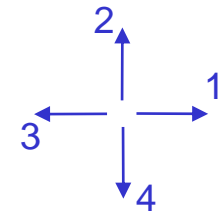
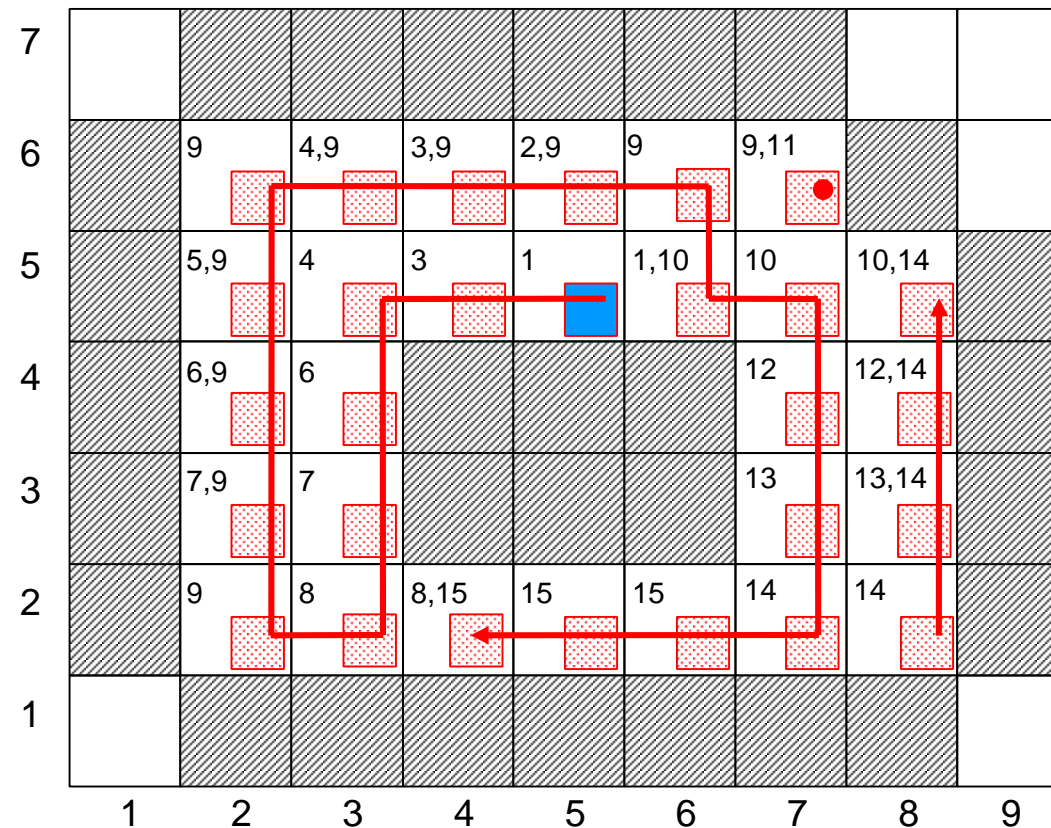
- Zahlen: Position der Pixel im Stack



## 3.4 Füllalgorithmen

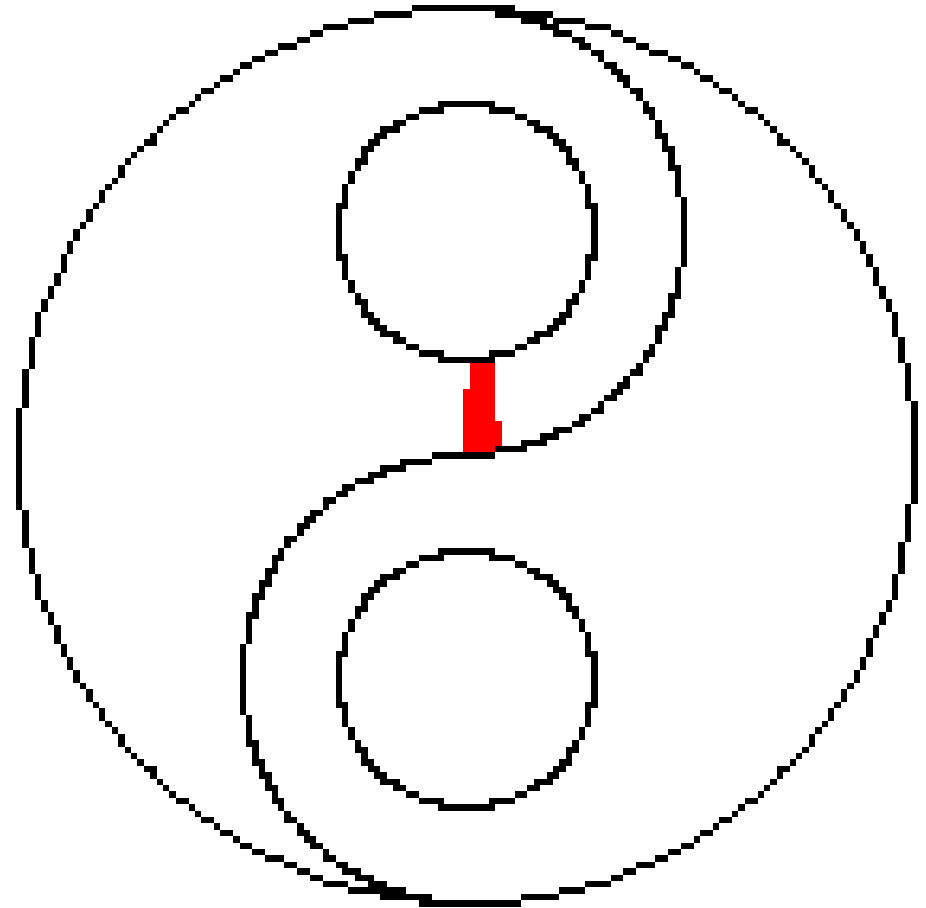
### Saatpunkt-Methode / Seed-Fill

- Gebiet mit Loch (Zahlen: Position der Pixel im Stack)



## 3.4 Füllalgorithmen

Saatpunkt-Methode / Seed-Fill



## 3.4 Füllalgorithmen

- Hybrid-Methoden
  - verwenden die Ideen der Scan-Line- und Saatpunkt-Methoden gemeinsam
- Scan-Line-Seed-Fill-Algorithmus

## 3.5 Aliasing

### Aliasing (Signaltheorie)

- Allgemein versteht man unter Aliasing-Effekten
  - die **fehlerhafte Rekonstruktion** eines (kontinuierlichen) Ausgangssignals durch eine Abtastung mit **zu geringer Frequenz** (vgl. Nyquist-Theorem)
- Im Frequenzbereich **bandbegrenzte Signale** müssen mit **mehr als der doppelten Grenzfrequenz** abgetastet werden, um eine exakte Rekonstruktion zu ermöglichen

### Aliasing (Computergraphik)

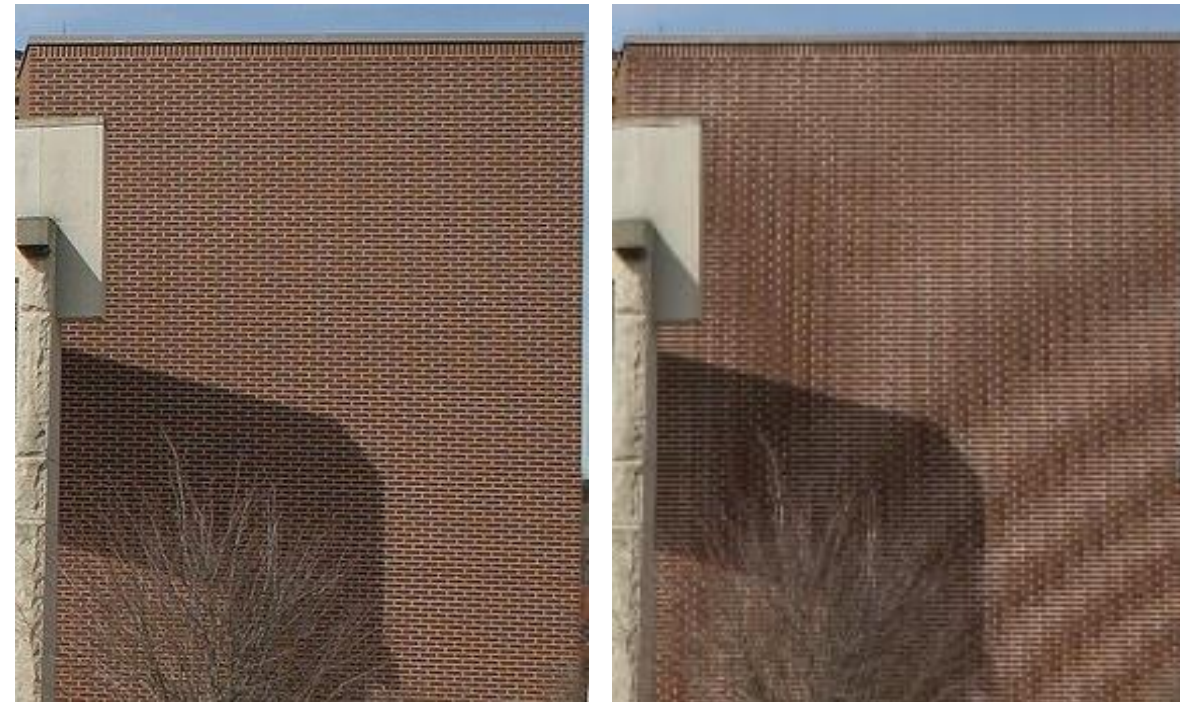
- Visuelle Artefakte durch
  - **Unterabtastung** (z.B. bei einem Schachbrettmuster)
  - **Rasterkonvertierungseffekte** (z.B. Treppeneffekte bei schrägen Linien)
  - **Örtliches und zeitliches Aliasing** (z.B. scheinbar rückwärts drehende Räder)

## 3.5 Aliasing

### Anti-Aliasing-Verfahren

- Methoden, um Aliasing-Effekten entgegenzuwirken:
  - Überabtastung
  - Filterung
- Ein echtes „Beseitigen“ ist oft (schon theoretisch) **nicht möglich**,
  - wenn die Signale **nicht bandbegrenzt** sind.
  - Eine höhere Abtastfrequenz - also **Überabtastung** vermindert die Alias-Effekte, beseitigt sie aber nicht vollständig.

- Bei Artefakten der **Rasterkonvertierung** spricht man von „Verfahren zur (Bild-) **Kantenglättung**“.



## 3.5 Aliasing

### Aliasing-Artefakte in der Computergraphik:

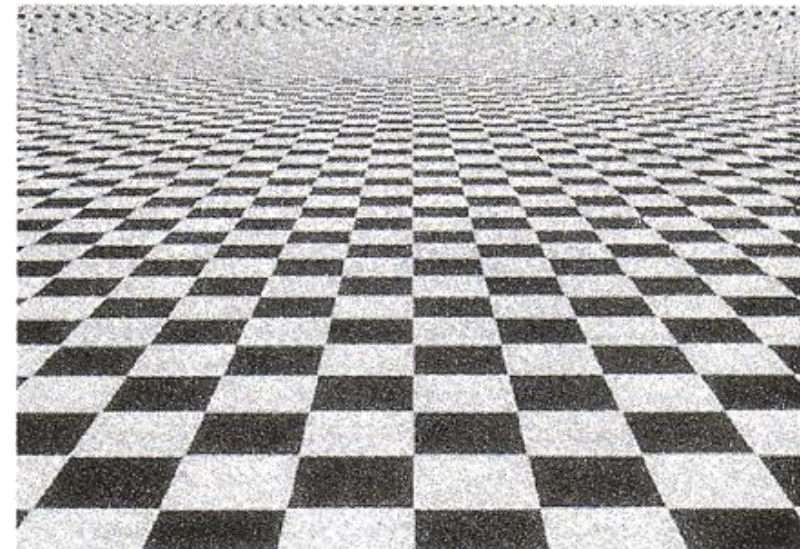
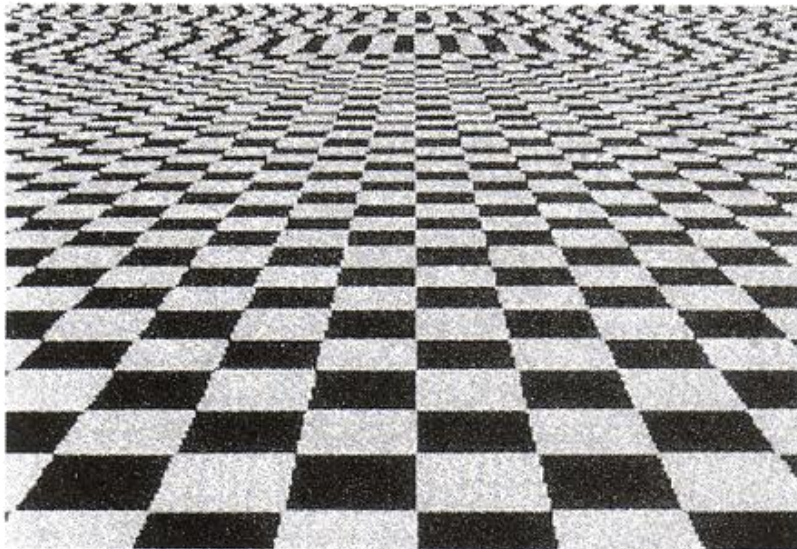
- Textur-Artefakte (z.B. Schachbrettmuster)
- Treppeneffekte beim Rastern von Kurven: **Jagged Edges**
- Verschwinden von Objekten, die kleiner als ein Pixel sind
- Verschwinden von langen, dünnen Objekten
- Detailverlust bei komplexen Bildern
- „Aufblinken“ kleiner Objekte bei Bewegungen / Animationen: **Popping**
- Üblicherweise treten visuelle Artefakte auf, wenn die **Periodizität** (zum Beispiel Kachelmuster) in der Textur die **Größenordnung von Pixeln** erreicht.
- Es gilt: „Echtes“ Aliasing kann in Computergraphikbildern mittels Überabtastung nicht entfernt, sondern nur verbessert werden (**nicht bandbegrenzt**).



## 3.5 Aliasing

### Textur-Artefakte, unendliches Schachbrettmuster

- Am oberen Ende werden die Quadrate zunächst immer kleiner und dann wieder größer (Aliasing)
- Dies ist ein Ergebnis zu grober Abtastung
- Mittels **zweifacher Überabtastung** (Abtastung mit doppelter Frequenz, d.h. vierfacher Rechenaufwand) können die **Artefakte verringert** werden
- Sie treten aber bei höheren Frequenzen immer noch auf (hier: später, weiter oben)





## 3.5 Aliasing

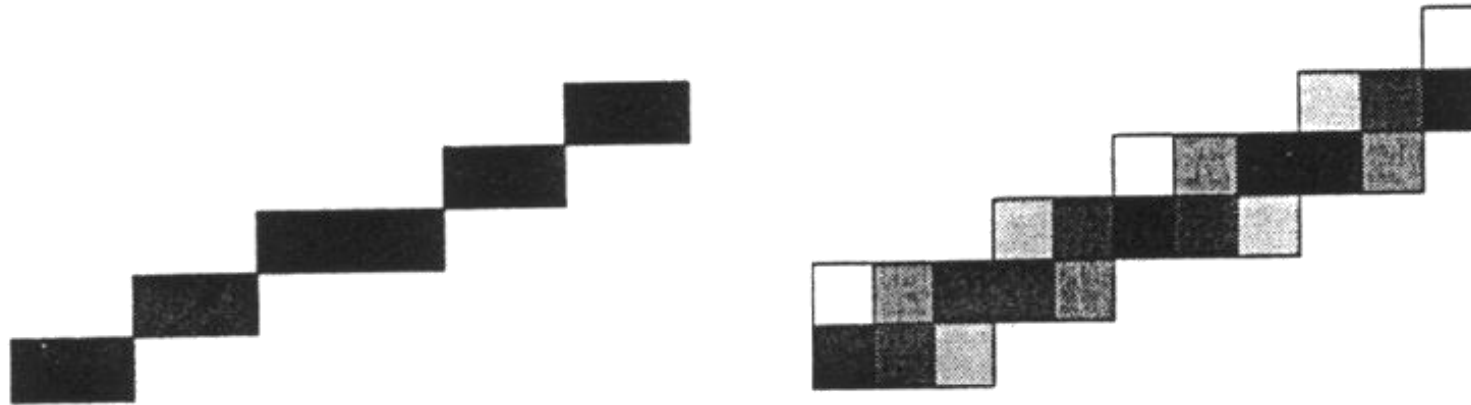
### Treppeneffekte, Jagged Edges, Jaggies

- Die bisher beschriebenen Verfahren zur Rasterung von Geraden und Kurven **erzeugen Treppeneffekte**.
- Zeichnen von Punkten nur **an Rasterpositionen** möglich
- Diese entsprechen im Allgemeinen **nicht den tatsächlichen** Positionen (Sollpositionen).
- Um solchen Aliasing-Effekten entgegenzuwirken, werden **mehrere Intensitäten** zur Erhöhung der visuellen Auflösung benutzt.
- Zum Beispiel verwendet eine Variante des Bresenham-Algorithmus für Geraden (im ersten Oktanten) für jeden x-Wert **zwei Pixel mit Grautönen entsprechend eines Abstandmaßes** zur zu zeichnenden Strecke.

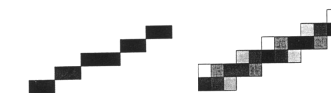
## 3.5 Aliasing

### Treppeneffekte, Jagged Edges, Jaggies

- Treppeneffekte bei einer gerasterten Geraden
- Graustufen, um Treppeneffekte zu verringern



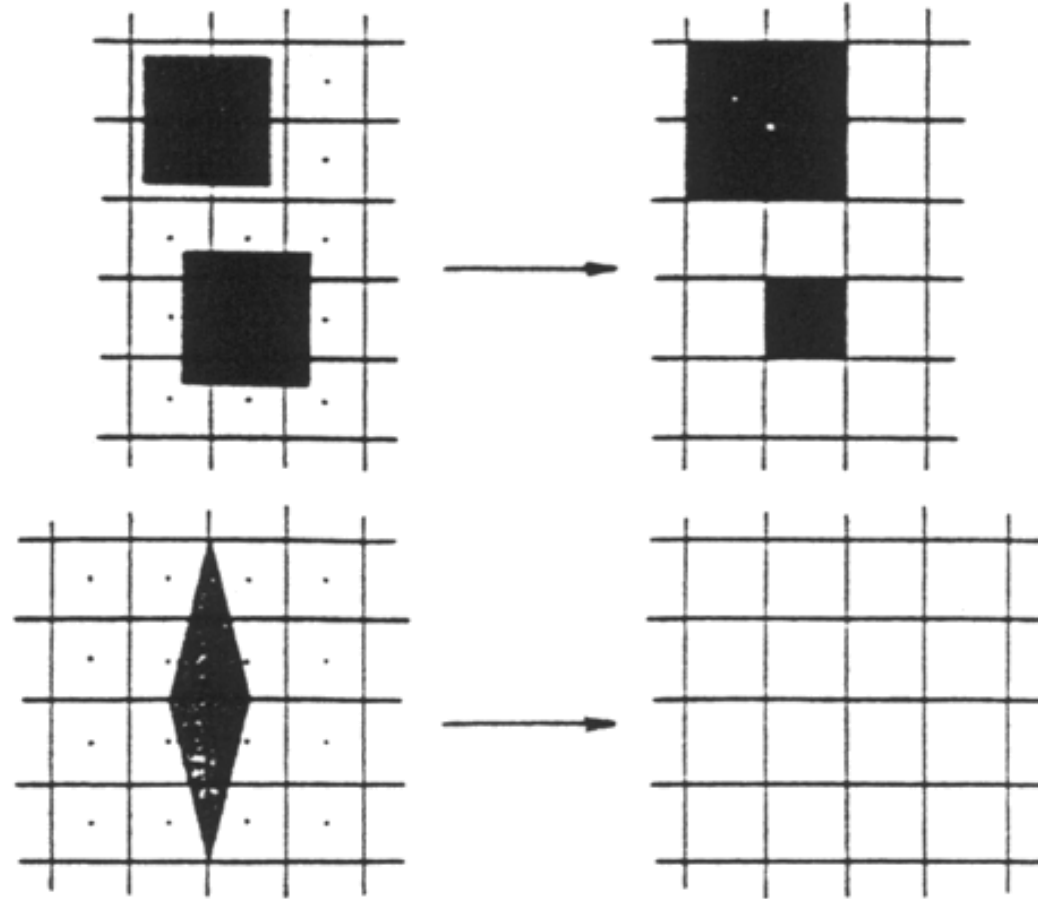
Gegenüberstellung von ungeglättetem und geglättetem Vektor.



Gegenüberstellung von ungeglättetem und geglättetem Vektor.

## 3.5 Aliasing

### Aliasing bei Polygonen



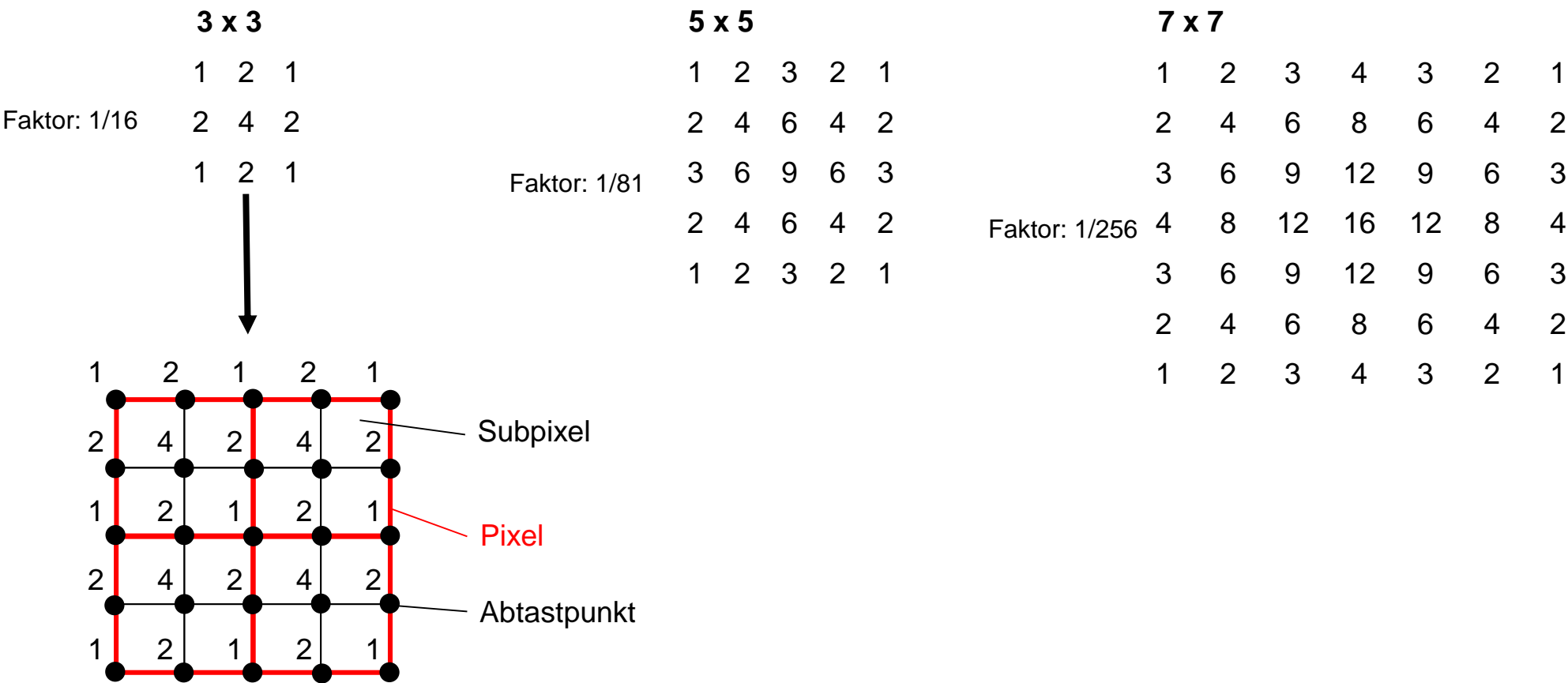
## 3.5 Aliasing

### Anti-Aliasing Verfahren: Oversampling

- Ein einfaches globales Anti-Aliasing-Verfahren
- Andere Bezeichnungen
  - Überabtastung
  - Supersampling
- Jedes Pixel wird mit einer höheren Auflösung berechnet, als es schließlich dargestellt wird.
- Das Pixel erhält als eigentliche Grauwertintensität bzw. Farbwert einen gewichteten Durchschnitt der an ihm beteiligten Subpixelwerte.
- Dieses Vorgehen entspricht allgemein einem Filterprozess, dessen theoretische Grundlagen in der Digitalen Signalverarbeitung begründet liegen.

# 3.5 Aliasing

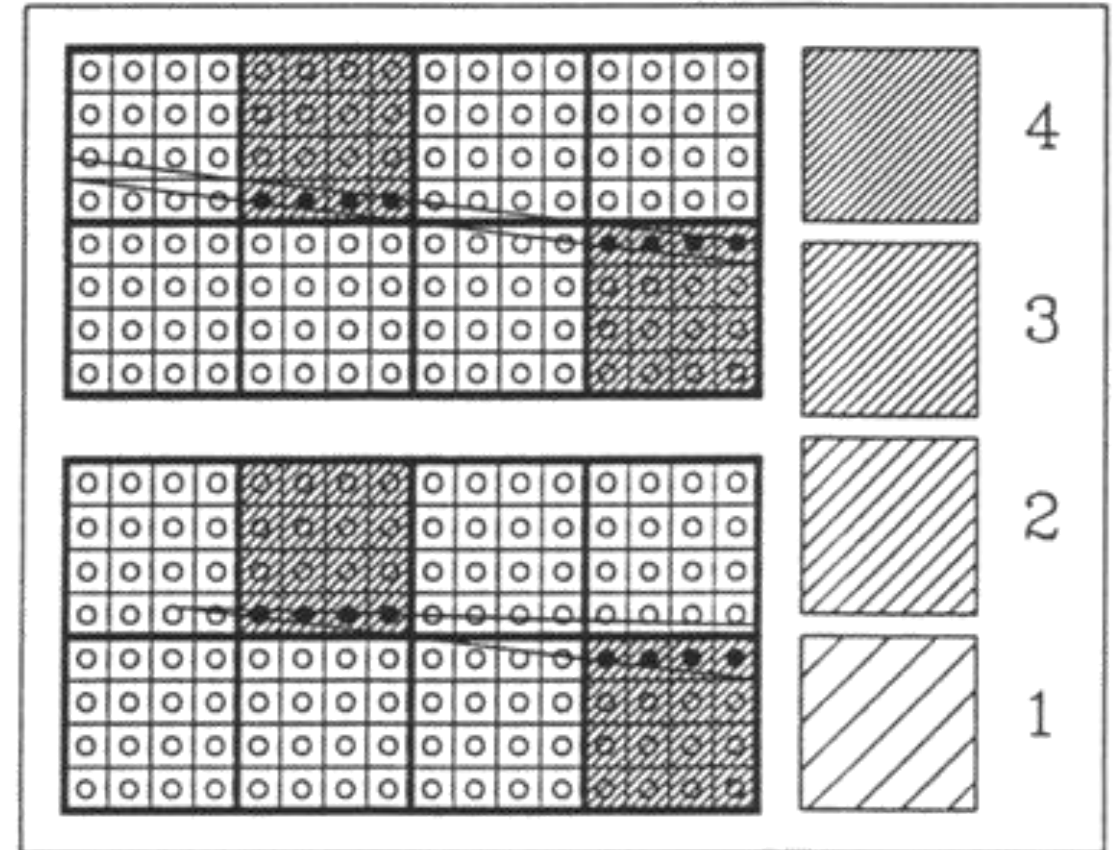
## Anti-Aliasing Verfahren (Filterkerne [Crow, 1981])



## 3.5 Aliasing

### Anti-Aliasing Verfahren

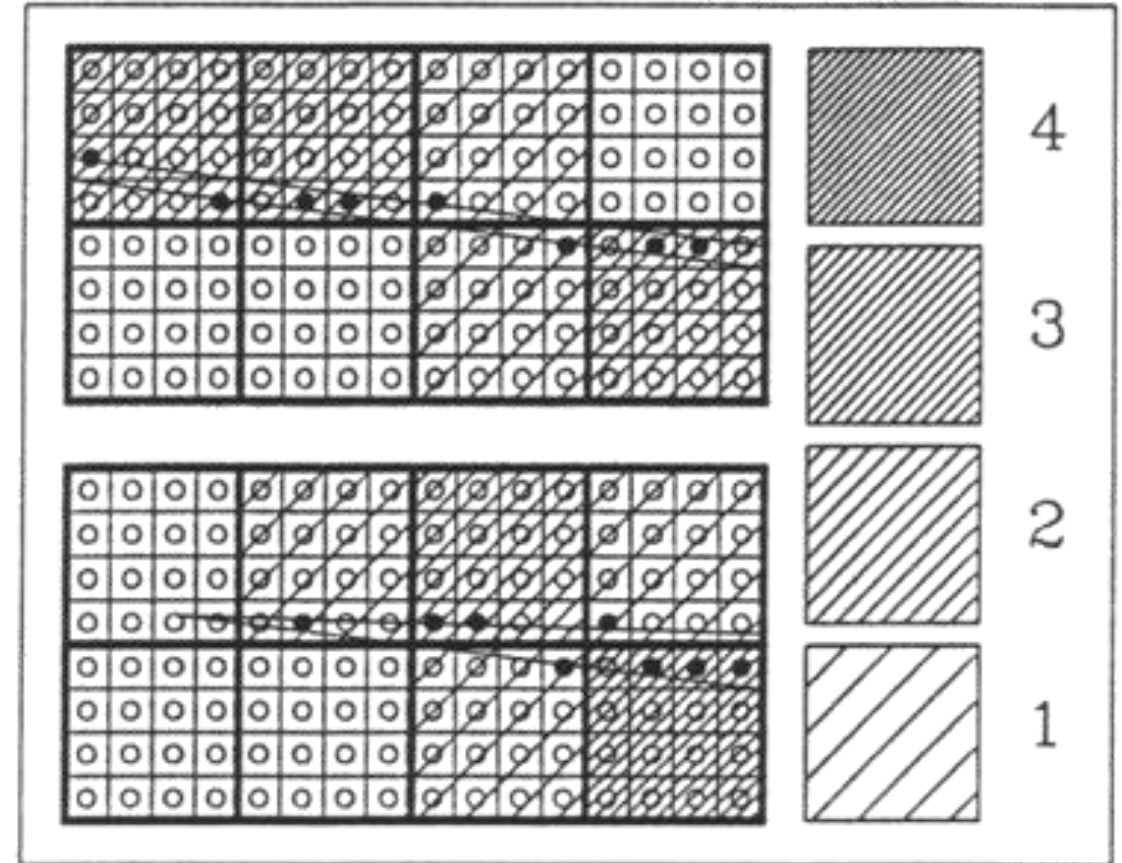
- Bei **Linien und spitzen Dreiecken (dünnen Polygonen)** kann es trotz Supersamplings zu überraschenden Effekten kommen.
- Gesetzte Subpixel sind schwarz.
- Die Schraffur zeigt den Grauwert abhängig von der Anzahl der gesetzten Subpixel.
- Oben:  
Linie verschwindet stellenweise, da keine Subpixel getroffen werden!
- Unten:  
Analog für das Dreieck



## 3.5 Aliasing

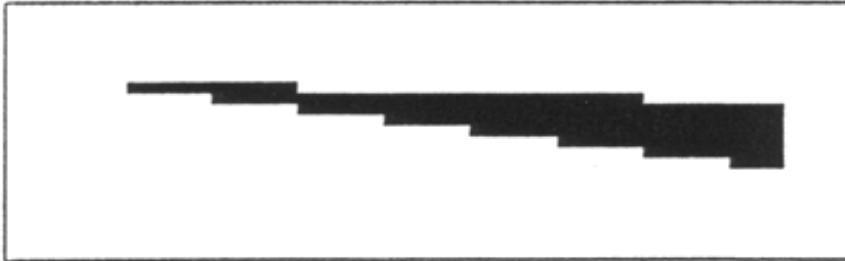
### Anti-Aliasing Verfahren

- Abhilfe für dieses Problem schafft erst eine (korrekte) **Berechnung der überdeckten Fläche** im Pixel.
- Die praktische Anwendung dieser Methode schließt allerdings eine **exakte analytische Berechnung** der wirklich im Pixel überdeckten Fläche **aus**.
- Es existieren hierzu verschiedenste **Näherungsverfahren**.
  - Die überdeckte Fläche lässt sich auch durch eine Anzahl entsprechend gesetzter Subpixel angenähert darstellen.

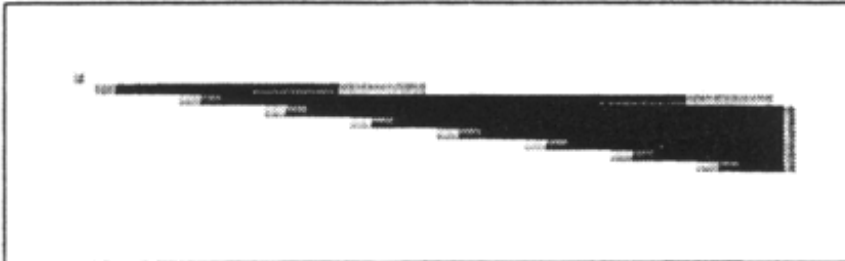


## 3.5 Aliasing

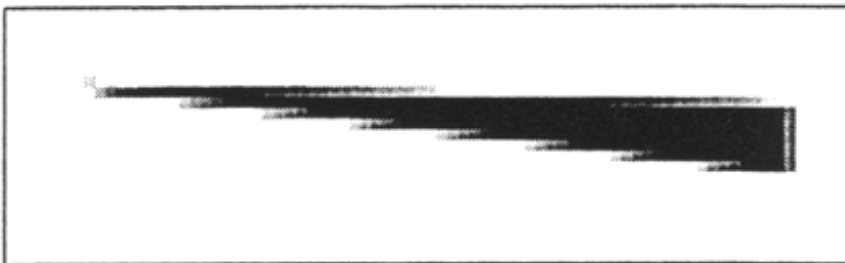
### Anti-Aliasing Verfahren (Leistungsfähigkeit der vorgestellten Verfahren)



Spitzes Dreieck ohne Glättung



Spitzes Dreieck mit Oversampling



Spitzes Dreieck mit korrekter Berechnung  
der überdeckten Fläche



## 3.5 Aliasing

### Anti-Aliasing Verfahren: Stochastische Methoden

- Beim stochastischen Abtasten wird das Oversampling mittels Monte-Carlo-Methoden durchgeführt, d.h. die Grauwerte (Intensität) werden an einigen zufälligen Punkten im Pixel ermittelt und das Ergebnis gemittelt.
- Auch bei der Berechnung der vom Polygon im Pixel überdeckten Fläche können Monte-Carlo-Methoden eingesetzt werden.
- Stochastische Methoden
  - erhöhen die Effizienz (schnellere Berechnung)
  - unterdrücken systematische Probleme (z.B. dünne Linie)
  - erlauben adaptives Supersampling
  - neigen aber z.B. zu Problemen bei Animationen, da Objekte flimmern können

## Quellen

- Computergraphik,  
Universität Leipzig  
(Prof. D. Bartz)
- Graphische Datenverarbeitung I,  
Universität Tübingen  
(Prof. W. Straßer)
- Graphische Datenverarbeitung I,  
TU Darmstadt  
(Prof. M. Alexa)
- Computergraphik,  
TU Kaiserslautern  
(Prof. H. Hagen)